

**F4110**  
**Kvantová fyzika atomárních soustav**  
**letní semestr 2007 - 2008**

**XIII.**  
**Chladné atomy a BEC**

**KOTLÁŘSKÁ 21. KVĚTNA 2008**

# Fyzika nízkých teplot

## Naše hlavní téma

	Teplotní rekordy	Objevy	Teorie
K	1877 <i>Pictet</i> kapalný kyslík?		
77	1895 <i>von Linde</i> kap. vzduch		
22	1898 <i>Dewar</i> kapalný vodík		
	1905 <i>von Linde</i> kap. dusík		
4,2	1908 <i>Kamerlingh-Onnes</i> kapalné helium	1911 <i>Kamerlingh-Onnes</i> supravodivost kovů	
0,3	odsávané helium	odsávané helium	1924 <i>Einstein</i> Bose- Einsteinova kondensace
mK	1933 paramagn. demagnet. 1951 <i>H. London</i> rozpouštěcí refrigerátor	1937 <i>Kapica</i> supratekutost Helia-4	1939 <i>Landau</i> teorie supratekutosti 1947 <i>Bogoljubov</i> teorie supratekutosti
μK	1956 <i>Kurti</i> NDR (jaderná ...) 1985 <i>Hänsch</i> laserové chlazení (princip)	1972 <i>Osheroff</i> supratekutost Helia-3 1986 <i>Müller a Bednorz</i> vysokoteplot. supravodivost	1956 <i>BCS</i> teorie supravodivosti 1975 <i>Leggett</i> teorie supratekutosti Helia-3
nK		1995 <i>Wieman, ... Ketterle</i> BEC v atomových parách	
pK			

*\*Bardeen, Cooper a Schrieffer*

# *Nobelisté II.*



## **The Nobel Prize in Physics 2001**

"for the achievement of Bose-Einstein condensation in dilute gases of alkali atoms, and for early fundamental studies of the properties of the condensates"



**Eric A. Cornell**

1/3 of the prize

USA

University of  
Colorado, JILA  
Boulder, CO, USA

b. 1961



**Wolfgang  
Ketterle**

1/3 of the prize

Federal Republic of  
Germany

Massachusetts  
Institute of  
Technology (MIT)  
Cambridge, MA, USA

b. 1957



**Carl E. Wieman**

1/3 of the prize

USA

University of  
Colorado, JILA  
Boulder, CO, USA

b. 1951

Bosony a Fermiony

## *Bosony a Fermiony v kostce*

nezávislý kvantový postulát

Identické částice jsou nerozlišitelné

## *Bosony a Fermiony v kostce*

nezávislý kvantový postulát

Identické částice jsou **nerozlišitelné**

## *Bosony a Fermiony v kostce*

nezávislý kvantový postulát

Identické částice jsou nerozlišitelné



## *Bosony a Fermiony v kostce*

nezávislý kvantový postulát

Identické částice jsou nerozlišitelné

Permutace částic nevede ke vzniku nového stavu

## *Bosony a Fermiony v kostce*

nezávislý kvantový postulát

Identické částice jsou nerozlišitelné

Permutace částic nevede ke vzniku nového stavu

Dvě částice

$$\Psi(x_1, x_2) \rightarrow \Psi(x_2, x_1) = \lambda \Psi(x_1, x_2)$$

## *Bosony a Fermiony v kostce*

nezávislý kvantový postulát

Identické částice jsou nerozlišitelné

Permutace částic nevede ke vzniku nového stavu

Dvě částice

$$\Psi(x_1, x_2) \rightarrow \Psi(x_2, x_1) = \lambda \Psi(x_1, x_2) = \lambda^2 \Psi(x_2, x_1)$$

## *Bosony a Fermiony v kostce*

nezávislý kvantový postulát

Identické částice jsou nerozlišitelné

Permutace částic nevede ke vzniku nového stavu

Dvě částice

$$\Psi(x_1, x_2) \rightarrow \Psi(x_2, x_1) = \lambda \Psi(x_1, x_2) = \lambda^2 \Psi(x_2, x_1)$$

$$\lambda^2 = 1$$

## Bosony a Fermiony v kostce

nezávislý kvantový postulát

Identické částice jsou nerozlišitelné

Permutace částic nevede ke vzniku nového stavu

Dvě částice

$$\Psi(x_1, x_2) \rightarrow \Psi(x_2, x_1) = \lambda \Psi(x_1, x_2) = \lambda^2 \Psi(x_2, x_1)$$

$$\lambda^2 = 1$$

$\lambda = -1$	$\lambda = +1$
<b>fermiony</b>	<b>bosony</b>
antisymmetrická $\Psi$	symmetrická $\Psi$

## Bosony a Fermiony v kostce

nezávislý kvantový postulát

Identické částice jsou nerozlišitelné

Permutace částic nevede ke vzniku nového stavu

Dvě částice

$$\Psi(x_1, x_2) \rightarrow \Psi(x_2, x_1) = \lambda \Psi(x_1, x_2) = \lambda^2 \Psi(x_2, x_1)$$

$$\lambda^2 = 1$$

$\lambda = -1$	$\lambda = +1$
<b>fermiony</b>	<b>bosony</b>
antisymmetrická $\Psi$	symmetrická $\Psi$
polo-číselný spin	celočíselný spin

# Bosony a Fermiony v kostce

nezávislý kvantový postulát

Identické částice jsou nerozlišitelné

Permutace částic nevede ke vzniku nového stavu

Dvě částice

$$\Psi(x_1, x_2) \rightarrow \Psi(x_2, x_1) = \lambda \Psi(x_1, x_2) = \lambda^2 \Psi(x_2, x_1)$$

$$\lambda^2 = 1$$

$\lambda = -1$	$\lambda = +1$
<b>fermiony</b>	<b>bosony</b>
antisymmetrická $\Psi$	symmetrická $\Psi$
polo-číselný spin	celočíselný spin

přichází  
odnikud  
"empirický  
fakt"

# Bosony a Fermiony v kostce

nezávislý kvantový postulát

Identické částice jsou nerozlišitelné

Permutace částic nevede ke vzniku nového stavu

Dvě částice

$$\Psi(x_1, x_2) \rightarrow \Psi(x_2, x_1) = \lambda \Psi(x_1, x_2) = \lambda^2 \Psi(x_2, x_1)$$

$$\lambda^2 = 1$$

$\lambda = -1$	$\lambda = +1$
<b>fermiony</b>	<b>bosony</b>
antisymmetrická $\Psi$	symmetrická $\Psi$
polo-číselný spin	celočíselný spin
elektrony	fotony

přichází  
odnikud  
"empirický  
fakt"



# Bosony a Fermiony v kostce

nezávislý kvantový postulát

Identické částice jsou nerozlišitelné

Permutace částic nevede ke vzniku nového stavu

Dvě částice

$$\Psi(x_1, x_2) \rightarrow \Psi(x_2, x_1) = \lambda \Psi(x_1, x_2) = \lambda^2 \Psi(x_2, x_1)$$

$$\lambda^2 = 1$$

$\lambda = -1$	$\lambda = +1$
<b>fermiony</b>	<b>bosony</b>
antisymmetrická $\Psi$	symmetrická $\Psi$
polo-číselný spin	celočíselný spin
elektrony	fotony

přichází  
odnikud  
"empirický  
fakt"

*celkem dobře znáte*

*ted' pro nás důležité*

# Mnohačasticové stavy pro Bosony a Fermiony

## *Representace obsazovacích čísel*

Nezávislé částice (... **neinteragující**)

Stav několika částic úplně popíšeme tak, že určíme

**kolik částic se nachází v různých jednočásticových stavech**

*Podrobnější popis neexistuje, protože částice nejsou rozlišitelné*

# Representace obsazovacích čísel

Nezávislé částice (... **neinteragující**)

Stav několika částic úplně popíšeme tak, že určíme

**kolik částic se nachází v různých jednočásticových stavech**

*Podrobnější popis neexistuje, protože částice nejsou rozlišitelné*

FORMÁLNÍ PROVEDENÍ



## Representace obsazovacích čísel

Nezávislé částice (... **neinteragující**)

base jedno-částicových stavů (  $\alpha$  úplný soubor kvantových čísel)

$$\{|\alpha\rangle\} \quad \langle\alpha|\beta\rangle = \delta_{\alpha\beta} \quad |\psi\rangle = \sum |\alpha\rangle \langle\alpha|\psi\rangle$$

$$\langle x|\alpha\rangle = \varphi_{\alpha}(x)$$

# Representace obsazovacích čísel

Nezávislé částice (... **neinteragující**)

base jedno-částicových stavů (  $\alpha$  úplný soubor kvantových čísel)

$$\{|\alpha\rangle\} \quad \langle\alpha|\beta\rangle = \delta_{\alpha\beta} \quad |\psi\rangle = \sum |\alpha\rangle \langle\alpha|\psi\rangle$$

$$\langle x|\alpha\rangle = \varphi_\alpha(x)$$

**FOCKŮV PROSTOR** prostor mnoha-částicových stavů

basové stavy ... symetrizované součiny jedno-částicových stavů **pro bosony**

... antisymetrizované součiny jedno-částicových stavů **pro fermiony**

určeny **posloupností obsazovacích čísel**      **0, 1, 2, 3, ... pro bosony**

**0, 1**      ... **pro fermiony**

# Representace obsazovacích čísel

Nezávislé částice (... **neinteragující**)

base jedno-částicových stavů (  $\alpha$  úplný soubor kvantových čísel)

$$\{|\alpha\rangle\} \quad \langle\alpha|\beta\rangle = \delta_{\alpha\beta} \quad |\psi\rangle = \sum |\alpha\rangle \langle\alpha|\psi\rangle$$

$$\langle x|\alpha\rangle = \varphi_\alpha(x)$$

**FOCKŮV PROSTOR** prostor mnoha-částicových stavů

basové stavy ... symetrizované součiny jedno-částicových stavů **pro bosony**

... antisymetrizované součiny jedno-částicových stavů **pro fermiony**

určeny **posloupností obsazovacích čísel** **0, 1, 2, 3, ... pro bosony**

**0, 1** ... **pro fermiony**

$$\{\alpha_1, \alpha_2, \alpha_3, \dots, \alpha_p, \dots\}$$

$$\Psi_{\{n_\alpha\}} = |n_1, n_2, n_3, \dots, n_p, \dots\rangle \quad n\text{-částicový stav } n = \sum n_p$$

# Representace obsazovacích čísel pro fermiony

Representace obsazovacích čísel (v podstatě *druhé kvantování*)

.... pro **fermiony**

**Pauliho princip**

*fermiony jsou distanční typ jako rackové*

$$\{\alpha_1, \alpha_2, \alpha_3, \dots, \alpha_p, \dots\}$$

$$\Psi_{\{n_\alpha\}} = |n_1, n_2, n_3, \dots, n_p, \dots\rangle \quad n\text{-částicový stav } n = \sum n_p, n_p = 0, 1$$

$$|0\rangle = |0, 0, 0, \dots, 0, \dots\rangle \quad 0\text{-částicový stav } \mathbf{vakuum}$$

$$|1_p\rangle = |0, 0, 0, \dots, 1, \dots\rangle \quad 1\text{-částic. } \varphi_{\alpha_p}(x)$$

$$|\dots\rangle = |0, 1, 1, \dots, 0, \dots\rangle \quad 2\text{-částic. } (\varphi_{\alpha_1}(x)\varphi_{\alpha_2}(x') - \varphi_{\alpha_1}(x')\varphi_{\alpha_2}(x))/\sqrt{2}$$

$$|\dots\rangle = |0, 2, 0, \dots, 0, \dots\rangle \quad 2\text{-částic. } \cancel{\varphi_{\alpha_1}(x)\varphi_{\alpha_1}(x')} \text{ není dovoleno}$$

$$|F\rangle = |\underbrace{1, 1, \dots, 1}_N, 0, \dots\rangle \quad N\text{-částicový základní stav}$$

$N$

...



# Representace obsazovacích čísel pro bosony

Representace obsazovacích čísel (v podstatě *druhé kvantování*)

.... pro **bosony**

**princip identity**

*bosony jsou kontaktní typ jako opice*

$$\{\alpha_1, \alpha_2, \alpha_3, \dots, \alpha_p, \dots\}$$

$$\Psi_{\{n_\alpha\}} = |n_1, n_2, n_3, \dots, n_p, \dots\rangle \quad n\text{-částicový stav } n = \sum n_p, n_p = 0, 1, 2, 3, \dots$$

$$|0\rangle = |0, 0, 0, \dots, 0, \dots\rangle \quad 0\text{-částicový stav } \mathbf{vakuum}$$

$$|1_p\rangle = |0, 0, 0, \dots, 1, \dots\rangle \quad 1\text{-částic. } \varphi_{\alpha_p}(x)$$

$$|\dots\rangle = |0, 1, 1, \dots, 0, \dots\rangle \quad 2\text{-částic. } \left(\varphi_{\alpha_1}(x)\varphi_{\alpha_2}(x') + \varphi_{\alpha_1}(x')\varphi_{\alpha_2}(x)\right)/\sqrt{2}$$

$$|\dots\rangle = |0, 2, 0, \dots, 0, \dots\rangle \quad 2\text{-částic. } \varphi_{\alpha_1}(x)\varphi_{\alpha_1}(x') \text{ je dovoleno}$$

$$|B\rangle = |N, 0, 0, \dots, 0, \dots\rangle \quad N\text{-částicový základní stav}$$

všechny na jednom orbitalu

$$\varphi_{\alpha_1}(x_1)\varphi_{\alpha_1}(x_2)\cdots\varphi_{\alpha_1}(x_N)$$

Které částice jsou Bosony

# Příklady bosonů

částice -- kvanta  
 $N$  se nezachovává

bosony

komplexní částice  
 $N$  se zachovává

elementární  
částice

fotony

kvazičástice

fonony  
magnony

atomy

${}^4\text{He}$ ,  ${}^7\text{Li}$ ,  ${}^{23}\text{Na}$ ,  ${}^{87}\text{Rb}$   
alkalické kovy

excitované  
atomy

# Příklady bosonů (rozšíření tabulky)

částice -- kvanta  
 $N$  se nezachovává

bosony

komplexní částice  
 $N$  se zachovává

elementární  
částice

fotony

kvazičástice

fonony  
magnony

složené  
kvazičástice

excitony  
Cooperovy páry

atomy

${}^4\text{He}$ ,  ${}^7\text{Li}$ ,  ${}^{23}\text{Na}$ ,  ${}^{87}\text{Rb}$   
alkalické kovy

excitované  
atomy

ionty

molekuly

# Příklady bosonů (rozšíření tabulky)

částice -- kvanta  
 $N$  se nezachovává

elementární  
částice

fotony

kvazičástice

fonony  
magnony

složené  
kvazičástice

excitony  
Cooperovy páry

bosony

komplexní částice  
 $N$  se zachovává

atomy

${}^4\text{He}$ ,  ${}^7\text{Li}$ ,  ${}^{23}\text{Na}$ ,  ${}^{87}\text{Rb}$   
alkalické kovy

excitované  
atomy

ionty

molekuly

*Jak může komplexní částice, například atom, vystupovat jako jednotný celek --- boson*

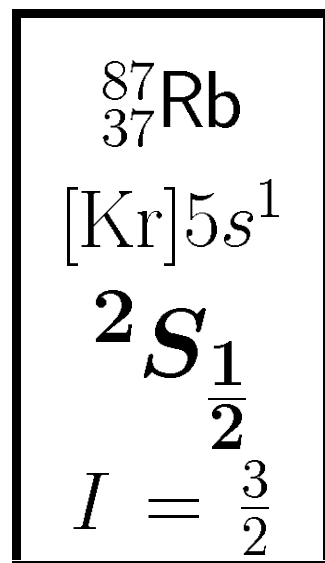
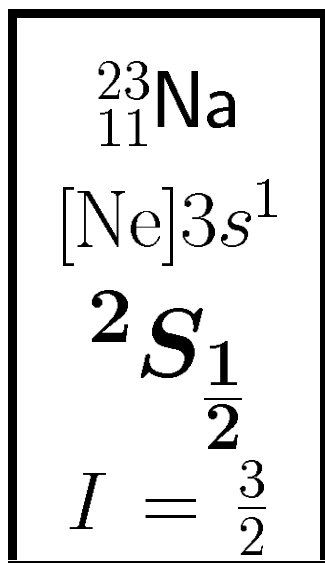
### **ZÁKLADNÍ PODMÍNKA**

Identita zahrnuje charakteristiky jako hmotnost, náboj, ale také hodnoty pozorovatelných příslušných vnitřním stupňům volnosti, které **se nesmějí měnit v průběhu studovaného dynamického procesu.**

*Jak může komplexní částice, například atom, vystupovat jako jednotný celek --- boson*

## **ZÁKLADNÍ PODMÍNKA**

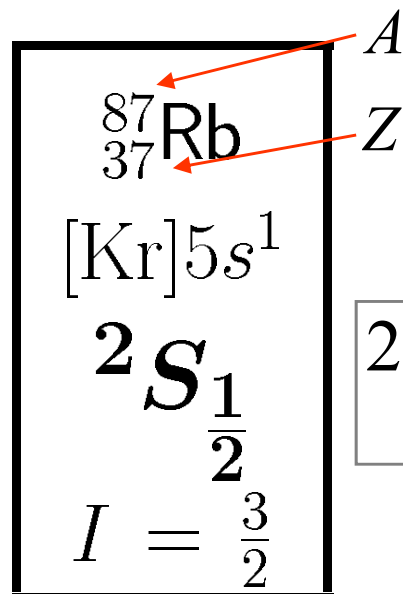
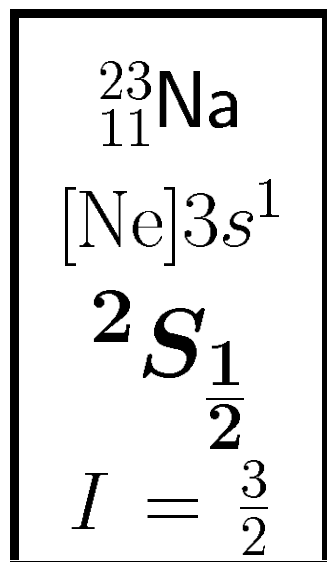
Identita zahrnuje charakteristiky jako hmotnost, náboj, ale také hodnoty pozorovatelných příslušných vnitřním stupňům volnosti, které **se nesmějí měnit v průběhu studovaného dynamického procesu.**



*Jak může komplexní částice, například atom, vystupovat jako jednotný celek --- boson*

## ZÁKLADNÍ PODMÍNKA

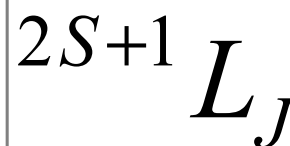
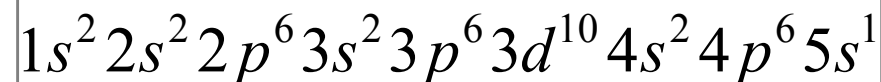
Identita zahrnuje charakteristiky jako hmotnost, náboj, ale také hodnoty pozorovatelných příslušných vnitřním stupňům volnosti, které **se nesmějí měnit v průběhu studovaného dynamického procesu.**



$A$

$Z$

elektronová konfigurace



$$\vec{J} = \vec{L} + \vec{S}$$

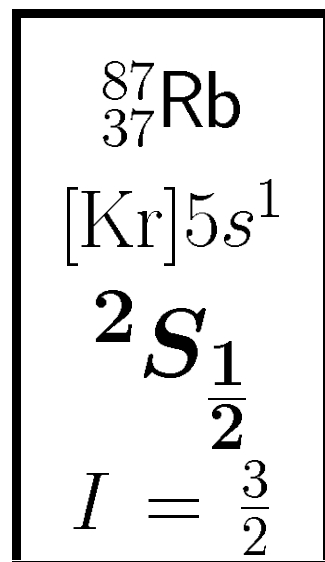
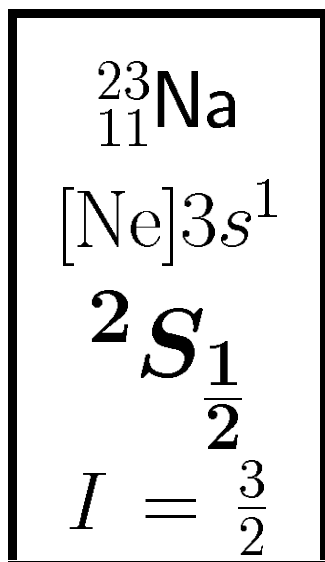
$$J = |S - L|, \dots, S + L = \frac{1}{2}$$



*Jak může komplexní částice, například atom, vystupovat jako jednotný celek --- boson*

## ZÁKLADNÍ PODMÍNKA

Identita zahrnuje charakteristiky jako hmotnost, náboj, ale také hodnoty pozorovatelných příslušných vnitřním stupňům volnosti, které **se nesmějí měnit v průběhu studovaného dynamického procesu.**



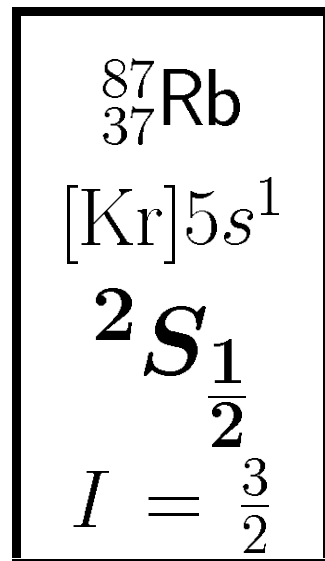
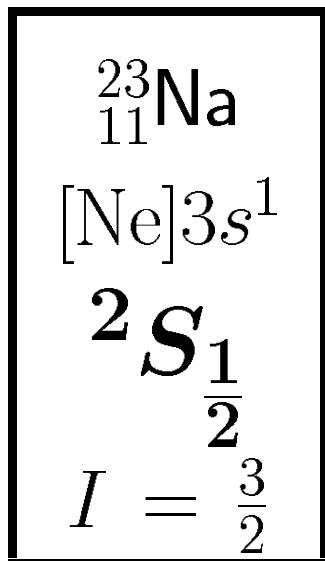
### Rubidium

37 elektronů	} <i>celk. elektronový spin</i>	$S = \frac{1}{2}$
37 protonů		
50 neutronů	} <i>celk. jaderný spin</i>	$I = \frac{3}{2}$

*Jak může komplexní částice, například atom, vystupovat jako jednotný celek --- boson*

## **ZÁKLADNÍ PODMÍNKA**

Identita zahrnuje charakteristiky jako hmotnost, náboj, ale také hodnoty pozorovatelných příslušných vnitřním stupňům volnosti, které **se nesmějí měnit v průběhu studovaného dynamického procesu.**



### **Rubidium**

37 elektronů      *celk. elektronový spin*       $S = \frac{1}{2}$

37 protonů }  
50 neutronů }      *celk. jaderný spin*       $I = \frac{3}{2}$

*celkový spin atomu*

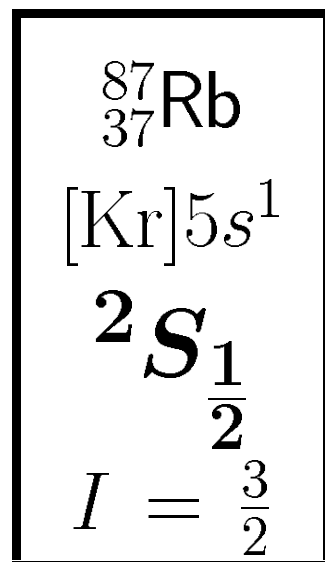
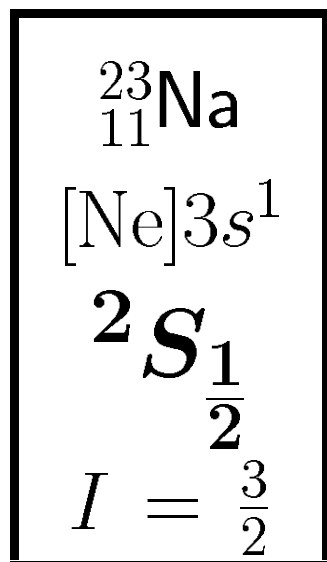
$$\vec{F} = \vec{S} + \vec{I}$$

$$F = |S - I|, \dots, S + I = 1, 2$$

*Jak může komplexní částice, například atom, vystupovat jako jednotný celek --- boson*

## ZÁKLADNÍ PODMÍNKA

Identita zahrnuje charakteristiky jako hmotnost, náboj, ale také hodnoty pozorovatelných příslušných vnitřním stupňům volnosti, které **se nesmějí měnit v průběhu studovaného dynamického procesu.**



### Rubidium

37 elektronů      *celk. elektronový spin*       $S = \frac{1}{2}$

37 protonů }  
50 neutronů }      *celk. jaderný spin*       $I = \frac{3}{2}$

*celkový spin atomu*

$$\vec{F} = \vec{S} + \vec{I}$$

$$F = |S - I|, \dots, S + I = 1, 2$$

Koexistují dvě rozlišitelné odrůdy; mohou být odděleny sdruženým působením hyperjemných interakcí a Zeemanova štěpení v magnetickém poli

# Ideální kvantové plyny

## *Ideální klasický plyn*

$$\langle n \rangle = e^{-\beta(\varepsilon - \mu)} \quad \text{Boltzmannovo rozdělení}$$

vysoké teploty, zředěný plyn

# Ideální klasický plyn

$$\langle n \rangle = e^{-\beta(\varepsilon - \mu)} \quad \text{Boltzmannovo rozdělení}$$

vysoké teploty, zředěný plyn

$$T = 0$$

Fermiony  
elektrony

$$|F\rangle = |1, 1, \dots, 1, 0, \dots\rangle$$

Bosony  $N = \text{const.}$   
atomy

$$|B\rangle = |N, 0, 0, \dots, 0, \dots\rangle$$

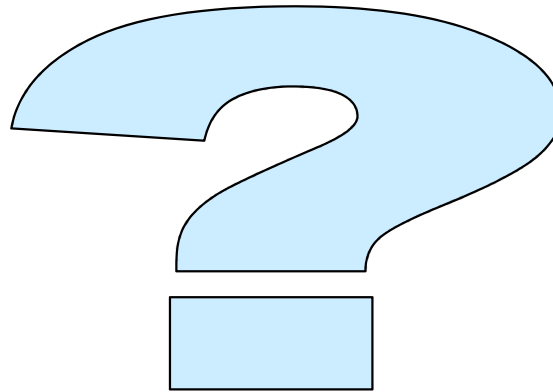
Bosony  
fotony

$$|\text{vac}\rangle$$

# Ideální klasický plyn

$$\langle n \rangle = e^{-\beta(\varepsilon - \mu)} \quad \text{Boltzmannovo rozdělení}$$

vysoké teploty, zředěný plyn



$$T = 0$$

Fermiony  
elektrony

$$|F\rangle = |1, 1, \dots, 1, 0, \dots\rangle$$

Bosony  $N = \text{const.}$   
atomy

$$|B\rangle = |N, 0, 0, \dots, 0, \dots\rangle$$

Bosony  
fotony

$$|\text{vac}\rangle$$

# Ideální kvantové plyny

$$\langle n \rangle = e^{-\beta(\varepsilon - \mu)} \quad \text{Boltzmannovo rozdělení}$$

vysoké teploty, zředěný plyn

fermiony

$N$

FD

$$\langle n \rangle = \frac{1}{e^{\beta(\varepsilon - \mu)} + 1}$$



# Ideální kvantové plyny

$$\langle n \rangle = e^{-\beta(\varepsilon - \mu)} \quad \text{Boltzmannovo rozdělení}$$

vysoké teploty, zředěný plyn

chemický potenciál fixuje  
střední počet částic

fermiony

$N$

FD

$$\langle n \rangle = \frac{1}{e^{\beta(\varepsilon - \mu)} + 1}$$

# Ideální kvantové plyny

$$\langle n \rangle = e^{-\beta(\varepsilon - \mu)} \quad \text{Boltzmannovo rozdělení}$$

vysoké teploty, zředěný plyn

chemický potenciál fixuje  
střední počet částic

fermiony

$N$

FD

$$\langle n \rangle = \frac{1}{e^{\beta(\varepsilon - \mu)} + 1}$$

$$0 \leq \langle n \rangle \leq 1$$

PAULIHO PRINCIP

# Ideální kvantové plyny

$$\langle n \rangle = e^{-\beta(\varepsilon - \mu)} \quad \text{Boltzmannovo rozdělení}$$

vysoké teploty, zředěný plyn

fermiony

$N$

FD

$$\langle n \rangle = \frac{1}{e^{\beta(\varepsilon - \mu)} + 1}$$

# Ideální kvantové plyny

$$\langle n \rangle = e^{-\beta(\varepsilon - \mu)} \quad \text{Boltzmannovo rozdělení}$$

vysoké teploty, zředěný plyn

fermiony

bosony

$N$

FD

$$\langle n \rangle = \frac{1}{e^{\beta(\varepsilon - \mu)} + 1}$$

BE

$$\langle n \rangle = \frac{1}{e^{\beta\varepsilon} - 1}$$

# Ideální kvantové plyny

$$\langle n \rangle = e^{-\beta(\varepsilon - \mu)} \quad \text{Boltzmannovo rozdělení}$$

vysoké teploty, zředěný plyn

fermiony

bosony

"kvanta":  
fotony  
fonony  
magnony  
...

FD

$N$

$$\langle n \rangle = \frac{1}{e^{\beta(\varepsilon - \mu)} + 1}$$

BE

$$\langle n \rangle = \frac{1}{e^{\beta\varepsilon} - 1}$$

# Ideální kvantové plyny

$$\langle n \rangle = e^{-\beta(\varepsilon - \mu)} \quad \text{Boltzmannovo rozdělení}$$

vysoké teploty, zředěný plyn

fermiony

bosony

"kvanta":  
fotony  
fonony  
magnony  
...

$N$

$N$

FD

$$\langle n \rangle = \frac{1}{e^{\beta(\varepsilon - \mu)} + 1}$$

$$\langle n \rangle = \frac{1}{e^{\beta(\varepsilon - \mu)} - 1}$$

BE

$$\langle n \rangle = \frac{1}{e^{\beta\varepsilon} - 1}$$

# Ideální kvantové plyny

$$\langle n \rangle = e^{-\beta(\varepsilon - \mu)} \quad \text{Boltzmannovo rozdělení}$$

vysoké teploty, zředěný plyn

chemický potenciál fixuje  
střední počet částic

fermiony

bosony

FD

$N$

$N$

ATOMY

BE

$$\langle n \rangle = \frac{1}{e^{\beta(\varepsilon - \mu)} + 1}$$

$$\langle n \rangle = \frac{1}{e^{\beta(\varepsilon - \mu)} - 1}$$

$$\langle n \rangle = \frac{1}{e^{\beta\varepsilon} - 1}$$

# Ideální kvantové plyny

$$\langle n \rangle = e^{-\beta(\varepsilon - \mu)} \quad \text{Boltzmannovo rozdělení}$$

vysoké teploty, zředěný plyn

fermiony

bosony

$N$

$N$

FD

BE

$$\langle n \rangle = \frac{1}{e^{\beta(\varepsilon - \mu)} + 1}$$

$$\langle n \rangle = \frac{1}{e^{\beta(\varepsilon - \mu)} - 1}$$

$$\langle n \rangle = \frac{1}{e^{\beta\varepsilon} - 1}$$

$$T \rightarrow 0$$

$$T \rightarrow 0$$

$$T \rightarrow 0$$

$$|F\rangle = |1, 1, \dots, 1, 0, \dots\rangle$$

$$|B\rangle = |N, 0, 0, \dots, 0, \dots\rangle$$

$$|\text{vac}\rangle$$



# Ideální kvantové plyny

$$\langle n \rangle = e^{-\beta(\varepsilon - \mu)} \quad \text{Boltzmannovo rozdělení}$$

vysoké teploty, zředěný plyn

fermiony

bosony

$N$

$N$

FD

BE

$$\langle n \rangle = \frac{1}{e^{\beta(\varepsilon - \mu)} + 1}$$

$$\langle n \rangle = \frac{1}{e^{\beta(\varepsilon - \mu)} - 1}$$

$$\langle n \rangle = \frac{1}{e^{\beta\varepsilon} - 1}$$

$T \rightarrow 0$

$T \rightarrow 0$

$T \rightarrow 0$

vymrzání

$$|F\rangle = |1, 1, \dots, 1, 0, \dots\rangle$$

$$|B\rangle = |N, 0, 0, \dots, 0, \dots\rangle$$

$$|\text{vac}\rangle$$

# Ideální kvantové plyny

$$\langle n \rangle = e^{-\beta(\varepsilon - \mu)} \quad \text{Boltzmannovo rozdělení}$$

vysoké teploty, zředěný plyn

fermiony

bosony

$N$

$N$

FD

BE

$$\langle n \rangle = \frac{1}{e^{\beta(\varepsilon - \mu)} + 1}$$

$$\langle n \rangle = \frac{1}{e^{\beta(\varepsilon - \mu)} - 1}$$

$$\langle n \rangle = \frac{1}{e^{\beta\varepsilon} - 1}$$

$T \rightarrow 0$

$T \rightarrow 0$

$T \rightarrow 0$

Aufbau princip

vymrzání

$$|F\rangle = |1, 1, \dots, 1, 0, \dots\rangle$$

$$|B\rangle = |N, 0, 0, \dots, 0, \dots\rangle$$

$$|\text{vac}\rangle$$

# Ideální kvantové plyny

$$\langle n \rangle = e^{-\beta(\varepsilon - \mu)} \quad \text{Boltzmannovo rozdělení}$$

vysoké teploty, zředěný plyn

fermiony

bosony

FD

$N$

$N$

BE

$$\langle n \rangle = \frac{1}{e^{\beta(\varepsilon - \mu)} + 1}$$

$$\langle n \rangle = \frac{1}{e^{\beta(\varepsilon - \mu)} - 1}$$

$$\langle n \rangle = \frac{1}{e^{\beta\varepsilon} - 1}$$

$T \rightarrow 0$

$T \rightarrow 0$

$T \rightarrow 0$

Aufbau princip

?

vymrzání

$$|F\rangle = |1, 1, \dots, 1, 0, \dots\rangle$$

$$|B\rangle = |N, 0, 0, \dots, 0, \dots\rangle$$

$$|\text{vac}\rangle$$

# Ideální kvantové plyny

$$\langle n \rangle = e^{-\beta(\varepsilon - \mu)} \quad \text{Boltzmannovo rozdělení}$$

vysoké teploty, zředěný plyn

fermiony

bosony

FD

$N$

$N$

BE

$$\langle n \rangle = \frac{1}{e^{\beta(\varepsilon - \mu)} + 1}$$

$$\langle n \rangle = \frac{1}{e^{\beta(\varepsilon - \mu)} - 1}$$

$$\langle n \rangle = \frac{1}{e^{\beta\varepsilon} - 1}$$

$T \rightarrow 0$

$T \rightarrow 0$

$T \rightarrow 0$

Aufbau princip

?

vymrzání

$$|F\rangle = |1, 1, \dots, 1, 0, \dots\rangle$$

$$|B\rangle = |N, 0, 0, \dots, 0, \dots\rangle$$

$$|\text{vac}\rangle$$

makroskopické obsazení jediné hladiny

# Ideální kvantové plyny

$$\langle n \rangle = e^{-\beta(\varepsilon - \mu)} \quad \text{Boltzmannovo rozdělení}$$

vysoké teploty, zředěný plyn

fermiony

bosony

FD

$N$

$N$

BE

$$\langle n \rangle = \frac{1}{e^{\beta(\varepsilon - \mu)} + 1}$$

$$\langle n \rangle = \frac{1}{e^{\beta(\varepsilon - \mu)} - 1}$$

$$\langle n \rangle = \frac{1}{e^{\beta\varepsilon} - 1}$$

$T \rightarrow 0$

$T \rightarrow 0$

$T \rightarrow 0$

Aufbau princip

BEC

vymrzání

$$|F\rangle = |1, 1, \dots, 1, 0, \dots\rangle$$

$$|B\rangle = |N, 0, 0, \dots, 0, \dots\rangle$$

$$|\text{vac}\rangle$$

Bose-Einsteinova kondensace  
BEC

## *Podstata BEC*

Mějme homogenní plyn,  $N$  atomů v objemu  $V$

S klesající teplotou atomy ztrácejí energii a „stékají“ do nižších stavů. Těch však ubývá:

$$\mathcal{N}(E < k_B T) = \text{const} \times T^{3/2}$$

## Podstata BEC

Mějme homogenní plyn,  $N$  atomů v objemu  $V$

S klesající teplotou atomy ztrácejí energii a „stékají“ do nižších stavů. Těch však ubývá:

$$\mathcal{N}(E < k_B T) = \text{const} \times T^{3/2}$$

Daný počet atomů počínajíc jistou **kritickou teplotou** je příliš velký.

Přebytek  $N - \mathcal{N}$  se vyloučí do **nejnižší hladiny**, která je pak makroskopicky obsazena, tj. ze všech atomů je na ní makroskopický zlomek.



## Podstata BEC

Mějme homogenní plyn,  $N$  atomů v objemu  $V$

S klesající teplotou atomy ztrácejí energii a „stékají“ do nižších stavů. Těch však ubývá:

$$\mathcal{N}(E < k_B T) = \text{const} \times T^{3/2}$$

Daný počet atomů počínajíc jistou **kritickou teplotou** je příliš velký.

Přebytek  $N - \mathcal{N}$  se vyloučí do nejnižší hladiny, která je pak makroskopicky obsazena, tj. ze všech atomů je na ní makroskopický zlomek.

To je **BEC kondensát**.

Při nulové teplotě jsou na nejnižší hladině atomy všechny.

## Podstata BEC

Mějme homogenní plyn,  $N$  atomů v objemu  $V$

S klesající teplotou atomy ztrácejí energii a „stékají“ do nižších stavů. Těch však ubývá:

$$\mathcal{N}(E < k_B T) = \text{const} \times T^{3/2}$$

Daný počet atomů počínajíc jistou **kritickou teplotou** je příliš velký.

Přebytek  $N - \mathcal{N}$  se vyloučí do nejnižší hladiny, která je pak makroskopicky obsazena, tj. ze všech atomů je na ní makroskopický zlomek.

To je BEC kondensát.

Při nulové teplotě jsou na nejnižší hladině atomy všechny.

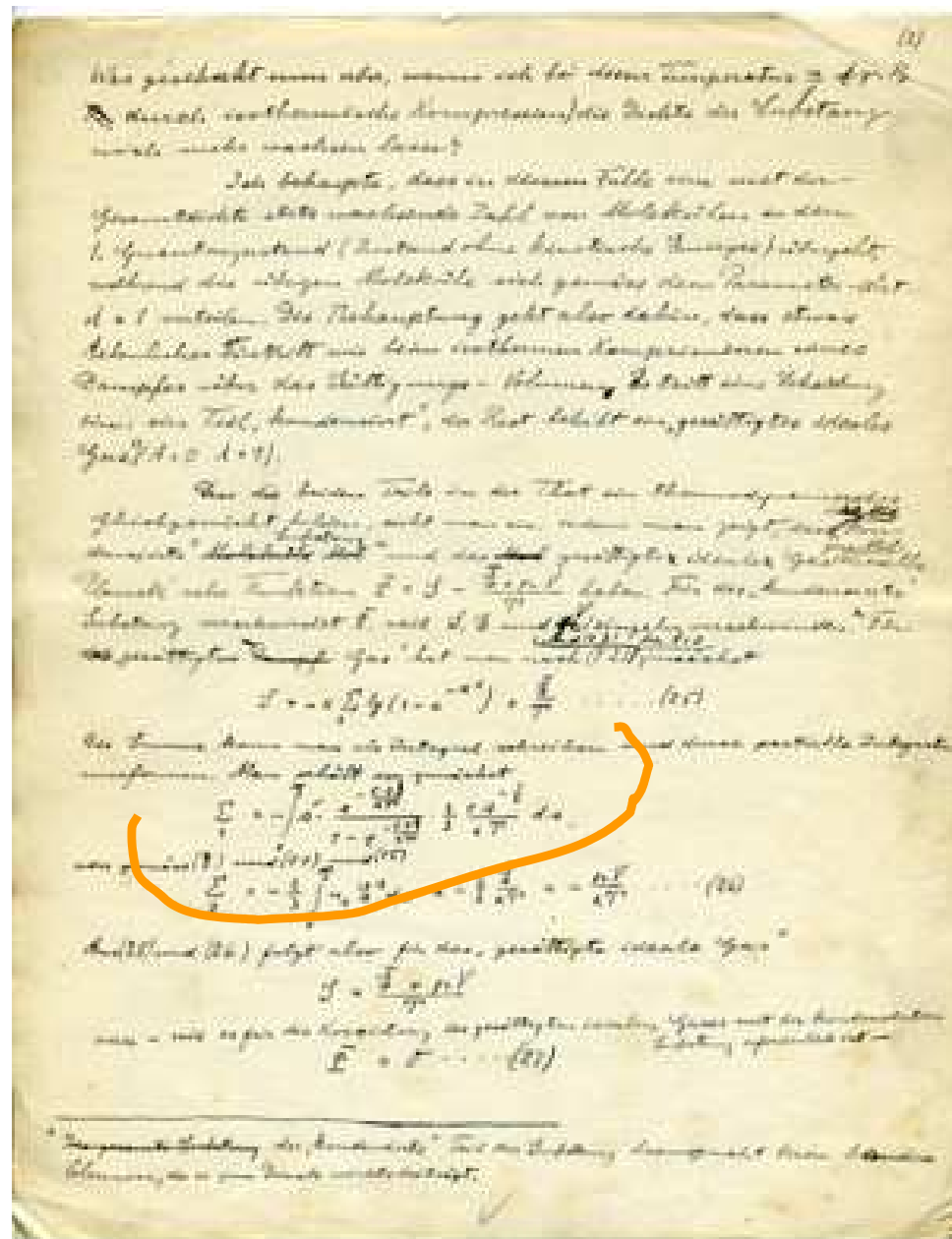
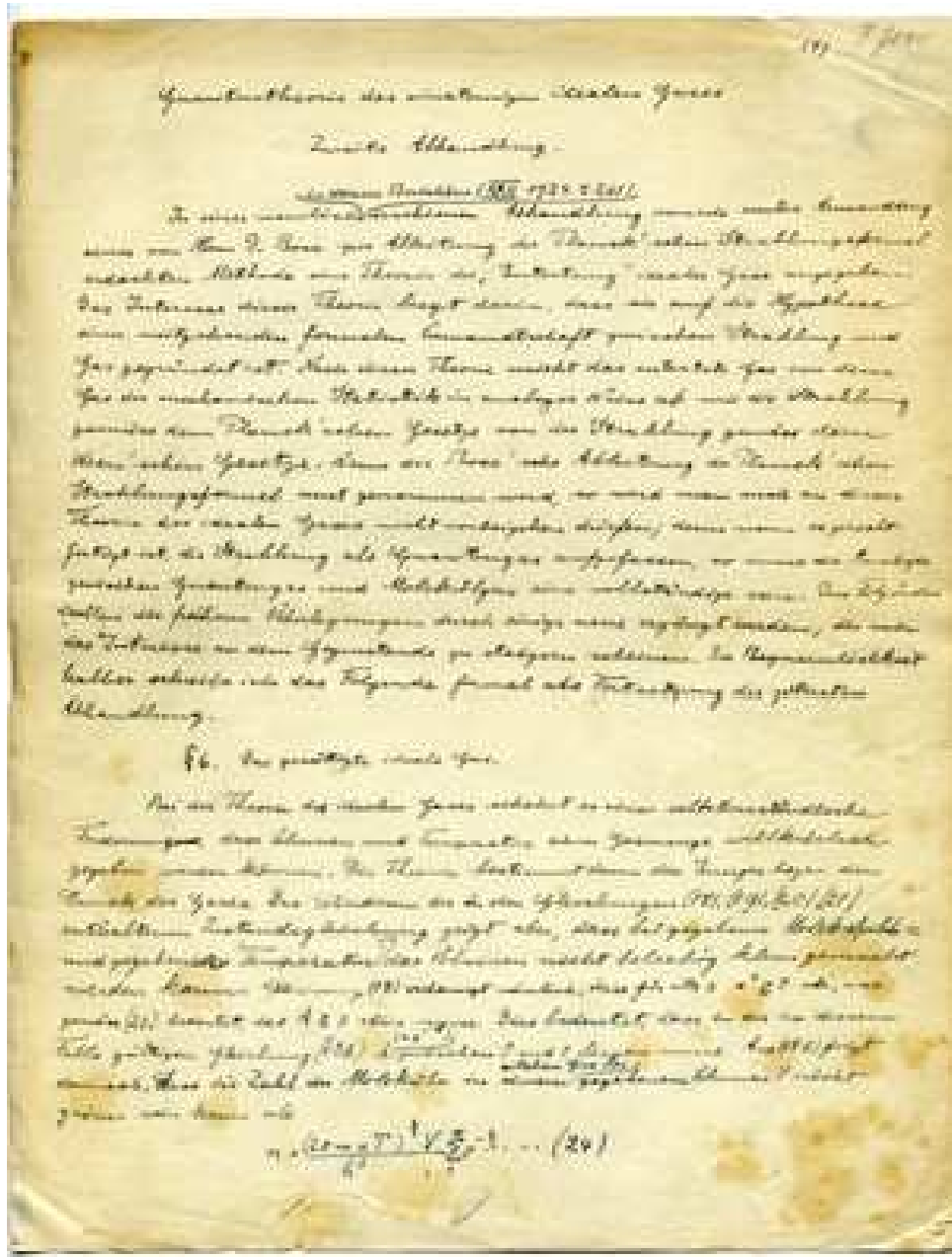
**Tuto úvahu a přesný výpočet integrálů provedl Einstein**  
*... následující folie.*

**Maximální počet atomů v plynné fázi při dané teplotě**

$$\tilde{\mathcal{N}}_G(T) = V \times 4\pi \left( \frac{2mk_B T}{h^2} \right)^{\frac{3}{2}} \Gamma\left(\frac{3}{2}\right) \zeta\left(\frac{3}{2}\right) \equiv BT^{\frac{3}{2}}$$



# Einsteinův rukopis s odvozením BEC



## Kritická teplota pro BEC

### KRITICKÁ TEPLOTA

nejnižší teplota, při níž jsou všechny atomy ještě v plynné fázi:

$$N = \tilde{\mathcal{N}}_G(T_c) = V \times 4\pi \left( \frac{2mk_B T_c}{h^2} \right)^{\frac{3}{2}} \Gamma\left(\frac{3}{2}\right) \zeta\left(\frac{3}{2}\right)$$

$$T_c = \frac{h^2}{4\pi m k_B} \cdot \left( \frac{N}{2,612V} \right)^{\frac{2}{3}} = 0,52725 \frac{h^2}{4\pi m k_B} \cdot \frac{n^{\frac{2}{3}}}{A} = 8,0306 \times 10^{-19} \cdot \frac{n^{\frac{2}{3}}}{A}$$

## Kritická teplota pro BEC

### KRITICKÁ TEPLOTA

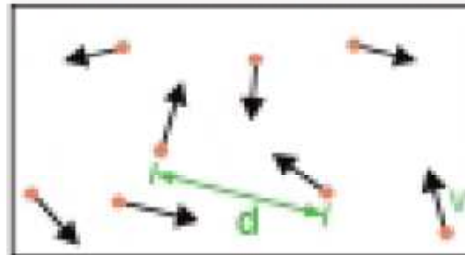
nejnižší teplota, při níž jsou všechny atomy ještě v plynné fázi:

$$T_c = \frac{h^2}{4\pi m k_B} \cdot \left( \frac{N}{2,612V} \right)^{\frac{2}{3}} = 0,52725 \frac{h^2}{4\pi u k_B} \cdot \frac{n^{\frac{2}{3}}}{M} = 8,0306 \times 10^{-19} \cdot \frac{n^{\frac{2}{3}}}{M}$$

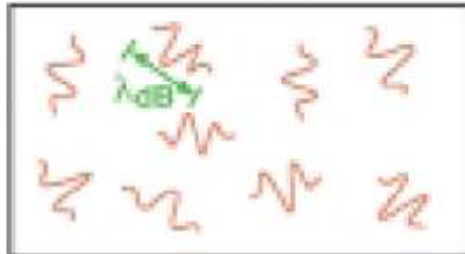
Několik odhadů:

system	$M$	$n$	$T_c$
He-4 kapalně	4	$2 \times 10^{28}$	1.47 K
Na past	23	$2 \times 10^{20}$	1.19 $\mu$ K
Rb past	87	$2 \times 10^{17}$	3.16 nK

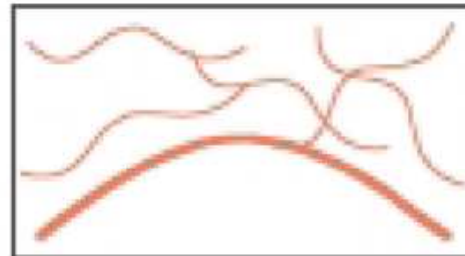
# Ketterle vysvětluje BEC švédskému králi



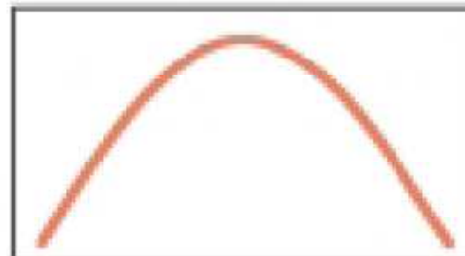
**High Temperature T:**  
thermal velocity  $v$   
density  $d^{-3}$   
"Billiard balls"



**Low Temperature T:**  
De Broglie wavelength  
 $\lambda_{DB} = h/mv \propto T^{-1/2}$   
"Wave packets"



**$T = T_{crit}$ :**  
**Bose-Einstein Condensation**  
 $\lambda_{DB} \sim d$   
"Matter wave overlap"



**$T = 0$ :**  
**Pure Bose condensate**  
"Giant matter wave"

## Vzpomínka: de Broglieho vlnová délka pro atomy a molekuly

$$\lambda = \frac{2\pi\hbar}{p}$$

Tepelné energie jsou malé .... platí NR vzorce

$$\lambda = \frac{2\pi\hbar}{\sqrt{2mE_{\text{kin}}}} \quad m = Au$$

V tepelné rovnováze

... rel. at. (mol.) hmotnost

$$\langle E_{\text{kin}} \rangle = \frac{3}{2} k_B T$$

tepelná vlnová  
délka

$$\lambda = \frac{2\pi\hbar}{\sqrt{3u k_B}} \cdot \frac{1}{\sqrt{AT}} = 2,5 \times 10^{-9} \cdot \frac{1}{\sqrt{AT}}$$

Dva užitečné vzorce

$$E_{\text{kin}} = \frac{3}{2} T / 11600 \quad \text{eV K} \quad \bar{v} = \sqrt{\langle v^2 \rangle} = 158 \sqrt{\frac{T}{A}}$$

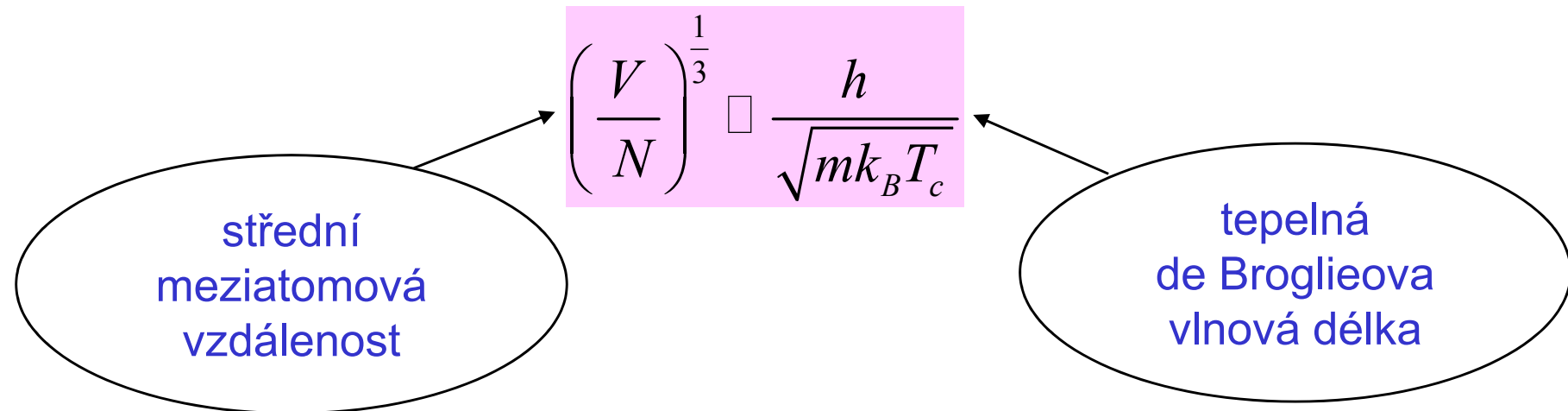


# Fyzikální interpretace $T_c$ podrobně

Formule pro kritickou teplotu

$$T_c = \frac{h^2}{4\pi m k_B} \cdot \left( \frac{N}{2,612V} \right)^{\frac{2}{3}}$$

Upravíme na

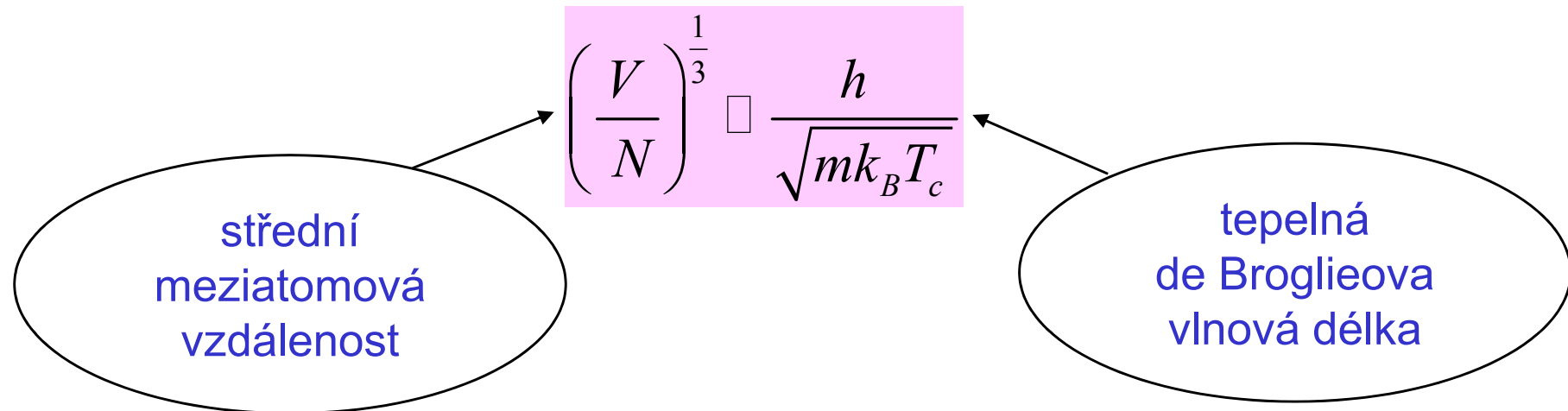


# Fyzikální interpretace $T_C$ podrobně

Formule pro kritickou teplotu

$$T_c = \frac{h^2}{4\pi m k_B} \cdot \left( \frac{N}{2,612V} \right)^{\frac{2}{3}}$$

Upravíme na



Kvantový přechod nastane když

vlnová oblaka atomů se začnou překrývat

## *Hustota kondensátu*

$$n_G = \frac{\tilde{\mathcal{N}}(T)}{V} = BT^{\frac{3}{2}} = BT_C^{\frac{3}{2}} \left( \frac{T}{T_C} \right)^{\frac{3}{2}} = n \cdot \left( \frac{T}{T_C} \right)^{\frac{3}{2}} \quad \text{pro } T < T_C$$

## Hustota kondensátu

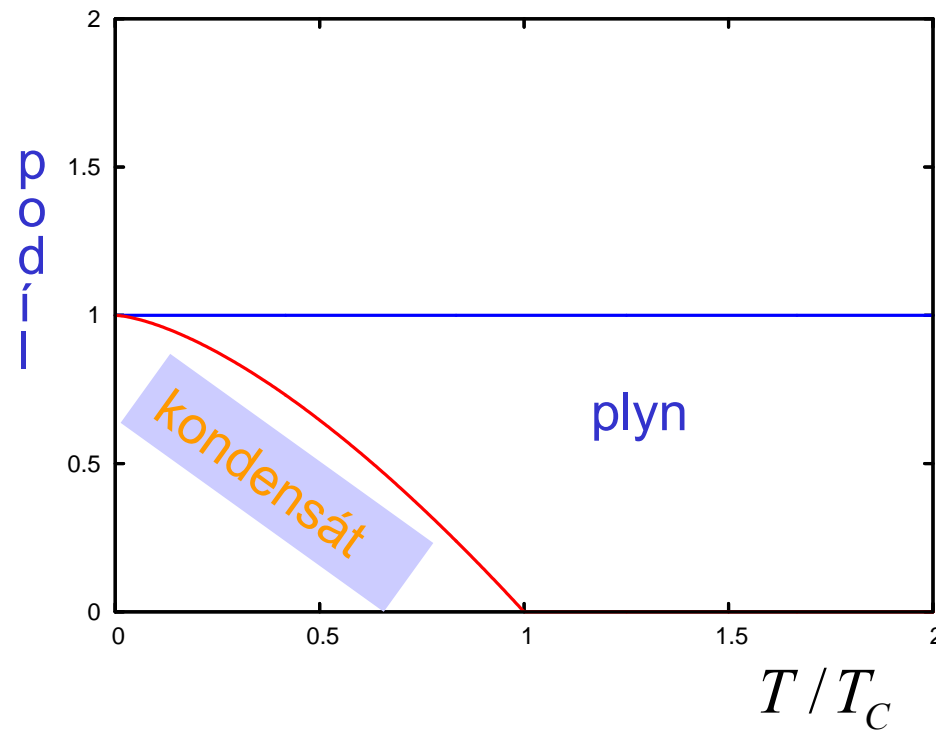
$$n_G = \frac{\tilde{\mathcal{N}}(T)}{V} = BT^{\frac{3}{2}} = BT_C^{\frac{3}{2}} \left( \frac{T}{T_C} \right)^{\frac{3}{2}} = n \cdot \left( \frac{T}{T_C} \right)^{\frac{3}{2}} \quad \text{pro } T < T_C$$

$$n \equiv n_G + n_{BEC} = n \cdot \left( \frac{T}{T_C} \right)^{\frac{3}{2}} + n \cdot \left[ 1 - \left( \frac{T}{T_C} \right)^{\frac{3}{2}} \right]$$

## Hustota kondensátu

$$n_G = \frac{\tilde{\mathcal{N}}(T)}{V} = BT^{\frac{3}{2}} = BT_C^{\frac{3}{2}} \left( \frac{T}{T_C} \right)^{\frac{3}{2}} = n \cdot \left( \frac{T}{T_C} \right)^{\frac{3}{2}} \quad \text{pro } T < T_C$$

$$n \equiv n_G + n_{BEC} = n \cdot \left( \frac{T}{T_C} \right)^{\frac{3}{2}} + n \cdot \left[ 1 - \left( \frac{T}{T_C} \right)^{\frac{3}{2}} \right]$$



## *Podrobnější rozbor BEC*

- Termodynamicky ... fázový přechod, i když podivný
- Čistě kvantový efekt
- Mezi bosony nepůsobí reálné síly, jejich pohyb však JE reálně korelován působením principu identity (symetrické vlnové funkce)

## *Podrobnější rozbor BEC*

- Termodynamicky ... fázový přechod, i když podivný
- Čistě kvantový efekt
- Mezi bosony nepůsobí reálné síly, jejich pohyb však JE reálně korelován působením principu identity (symetrické vlnové funkce)
- BEC je „kondenzace v prostoru hybností“ , na rozdíl od zkapalnění klasických plynů, které vede ke vzniku kapek v reálném prostoru souřadnic.
- BEC nebyla vlastně nikdy pozorována, protože obyčejné fázové přechody nastávaly mnohem dříve

## *Podrobnější rozbor BEC*

- Termodynamicky ... fázový přechod, i když podivný
- Čistě kvantový efekt
- Mezi bosony nepůsobí reálné síly, jejich pohyb však JE reálně korelován působením principu identity (symetrické vlnové funkce)
- BEC je „kondenzace v prostoru hybností“ , na rozdíl od zkapalnění klasických plynů, které vede ke vzniku kapek v reálném prostoru souřadnic.
- BEC nebyla vlastně nikdy pozorována, protože obyčejné fázové přechody nastávaly mnohem dříve. **Experimentální objev BEC má proto zásadní význam**



## *Podrobnější rozbor BEC*

- Termodynamicky ... fázový přechod, i když podivný
- Čistě kvantový efekt
- Mezi bosony nepůsobí reálné síly, jejich pohyb však JE reálně korelován působením principu identity (symetrické vlnové funkce)
- BEC je „kondenzace v prostoru hybností“ , na rozdíl od zkapalnění klasických plynů, které vede ke vzniku kapek v reálném prostoru souřadnic.
- BEC nebyla vlastně nikdy pozorována, protože obyčejné fázové přechody nastávaly mnohem dříve. **Experimentální objev BEC má proto zásadní význam**
- I když nebereme „momentum condensation“ doslova, BEC vyvolává kvantovou koherenci mezi vzdálenými místy, tak jako obyčejná rovinná vlna

## *Podrobnější rozbor BEC*

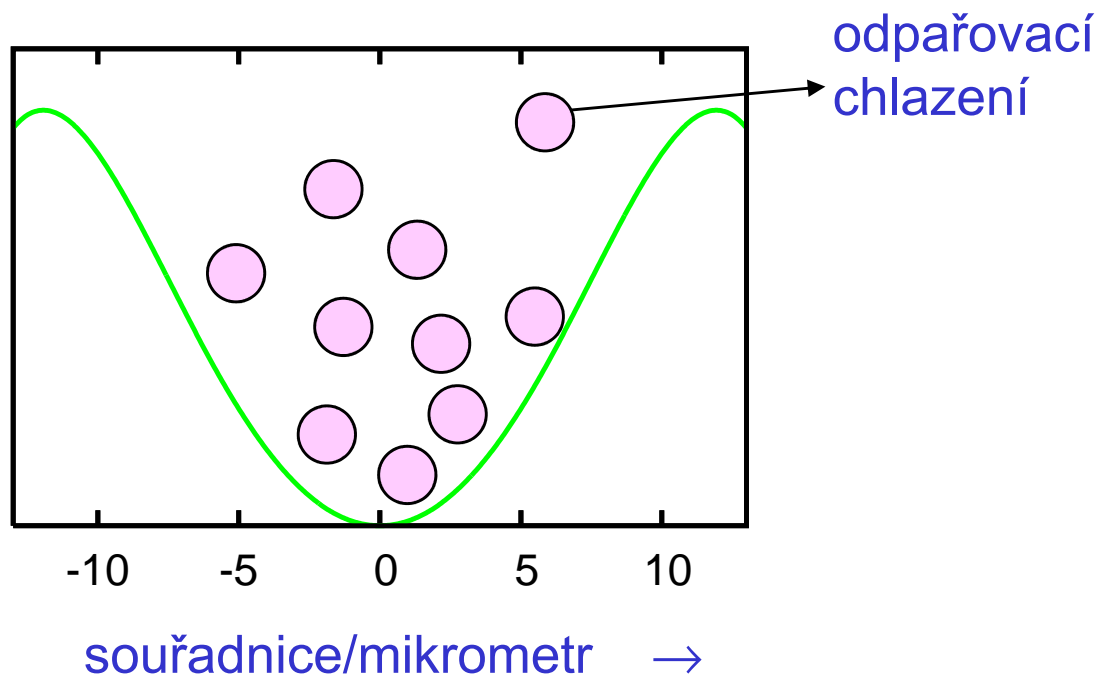
- Termodynamicky ... fázový přechod, i když podivný
  - Čistě kvantový efekt
  - Mezi bosony nepůsobí reálné síly, jejich pohyb však JE reálně korelován působením principu identity (symetrické vlnové funkce)
  - BEC je „kondenzace v prostoru hybností“ , na rozdíl od zkapalnění klasických plynů, které vede ke vzniku kapek v reálném prostoru souřadnic.
  - BEC nebyla vlastně nikdy pozorována, protože obyčejné fázové přechody nastávaly mnohem dříve. **Experimentální objev BEC má proto zásadní význam**
  - I když nebereme „momentum condensation“ doslova, BEC vyvolává kvantovou koherenci mezi vzdálenými místy, tak jako obyčejná rovinná vlna
- BEC je **makroskopický kvantový jev** ve dvou ohledech:
    - ♠ korelace makroskopické frakce všech atomů
    - ♠ odpovídající koherence prochází celým makroskopicky rozlehlým vzorkem

# BEC v atomových pastech

# Potenciál pasti

Typický profil

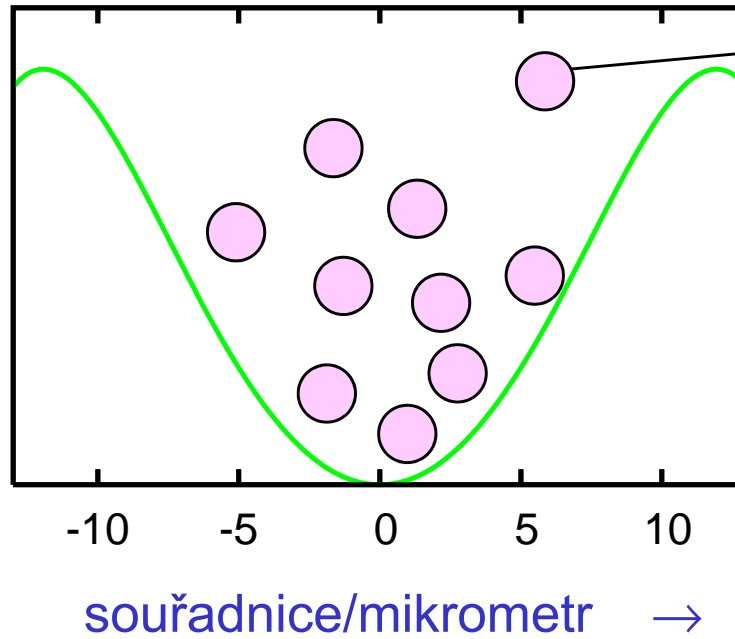
?



# Potenciál pasti

Typický profil

?

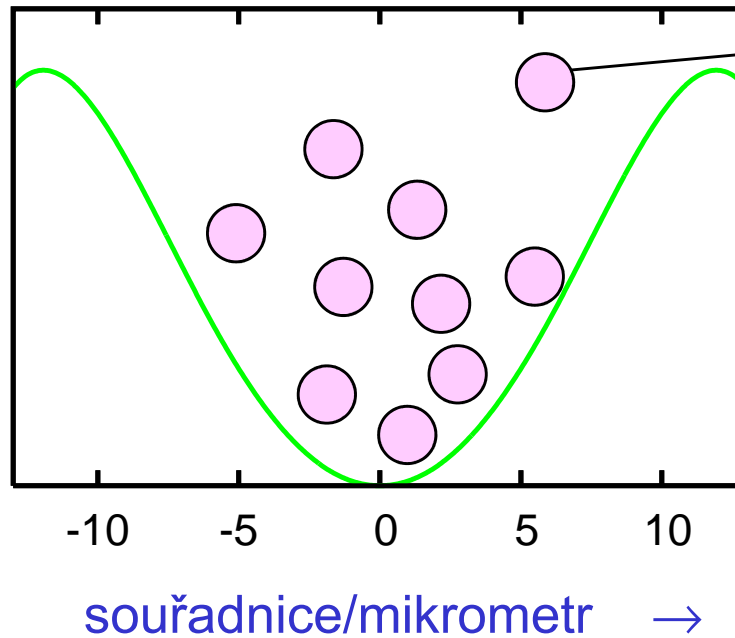


odpařovací  
chlazení ... to  
teprve sníží  
teplotu až ke  
kritické

# Potenciál pasti

Typický profil

?



odpařovací  
chlazení ... to  
teprve sníží  
teplotu až ke  
kritické

Jeden směr

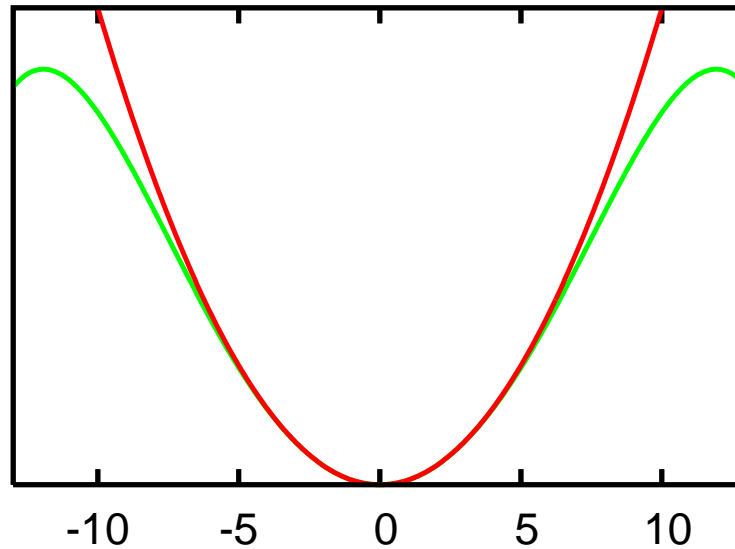
past zpravidla 3D, tvaru protáhlého elipsoidu

Pasti jsou z reálného světa, obláčky víceméně viditelné okem

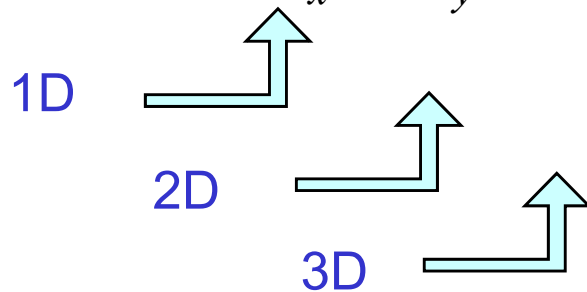
# Potenciál pasti

## Parabolická approximace

zpravidla anizotropní  
harmonický oscilátor  
*s axiální symetrií*

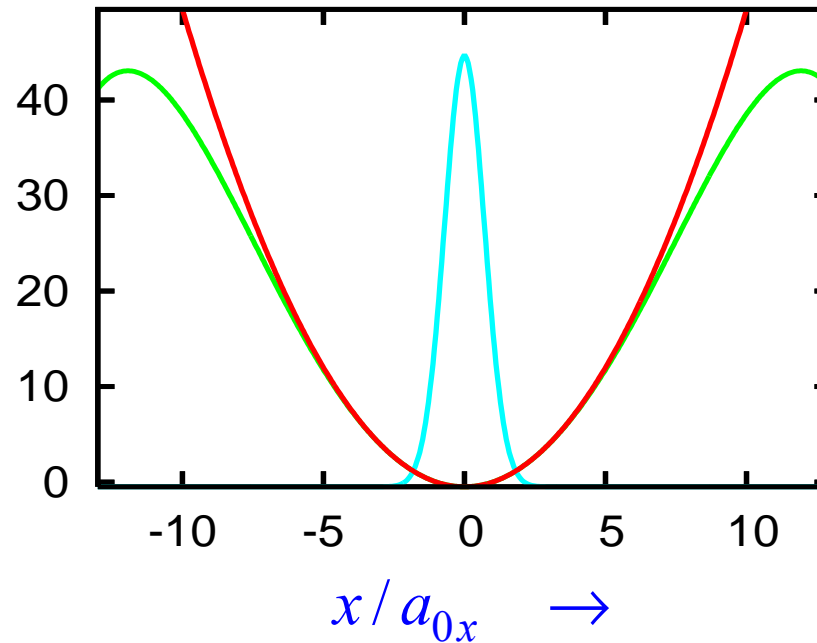


$$H = \frac{1}{2m} \mathbf{p}^2 + \frac{1}{2} m \omega_x^2 x^2 + \frac{1}{2} m \omega_y^2 y^2 + \frac{1}{2} m \omega_z^2 z^2$$
$$= H_x + H_y + H_z$$



# Základní stav a potenciál

číslo hladiny  
lineárního  
oscilátoru



200 nK

100 nK

$^{87}\text{Rb}$

$a_0 = 1 \mu\text{m}$

$\hbar\omega = 10 \text{ nK}$

$N \approx 10^6$

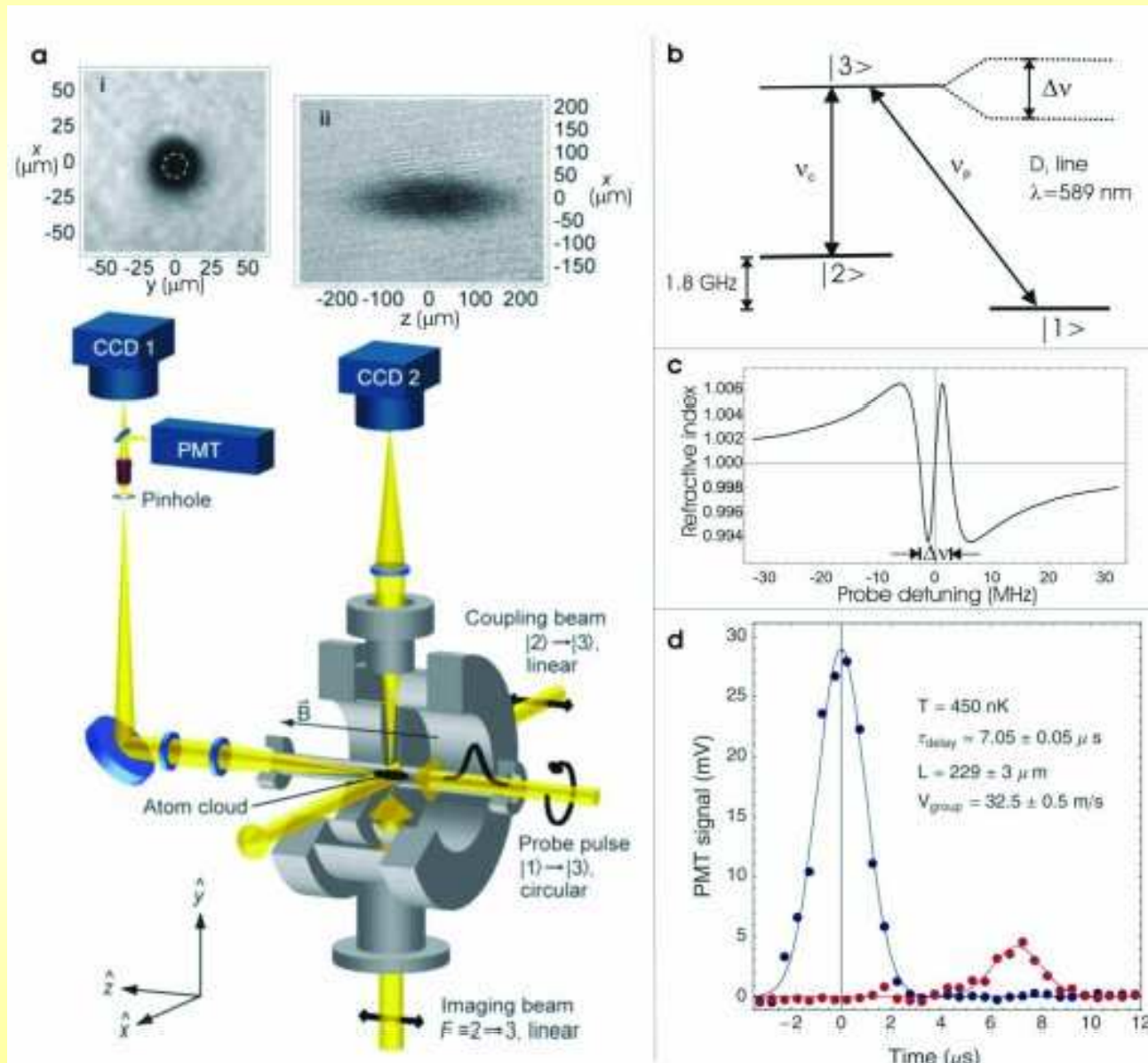
$$\psi_0(x, y, z) = \phi_{0x}(x) \phi_{0y}(y) \phi_{0z}(z)$$

$$\phi_0(u) = \frac{1}{\sqrt{a_0 \pi}} e^{-\frac{u^2}{2a_0^2}}, \quad a_0 = \sqrt{\frac{\hbar}{m\omega}}, \quad E_0 = \frac{1}{2} \hbar\omega = \frac{1}{2} \cdot \frac{\hbar^2}{ma_0^2} = \frac{1}{2} \cdot \frac{\hbar^2}{Mu_m a_0^2}$$

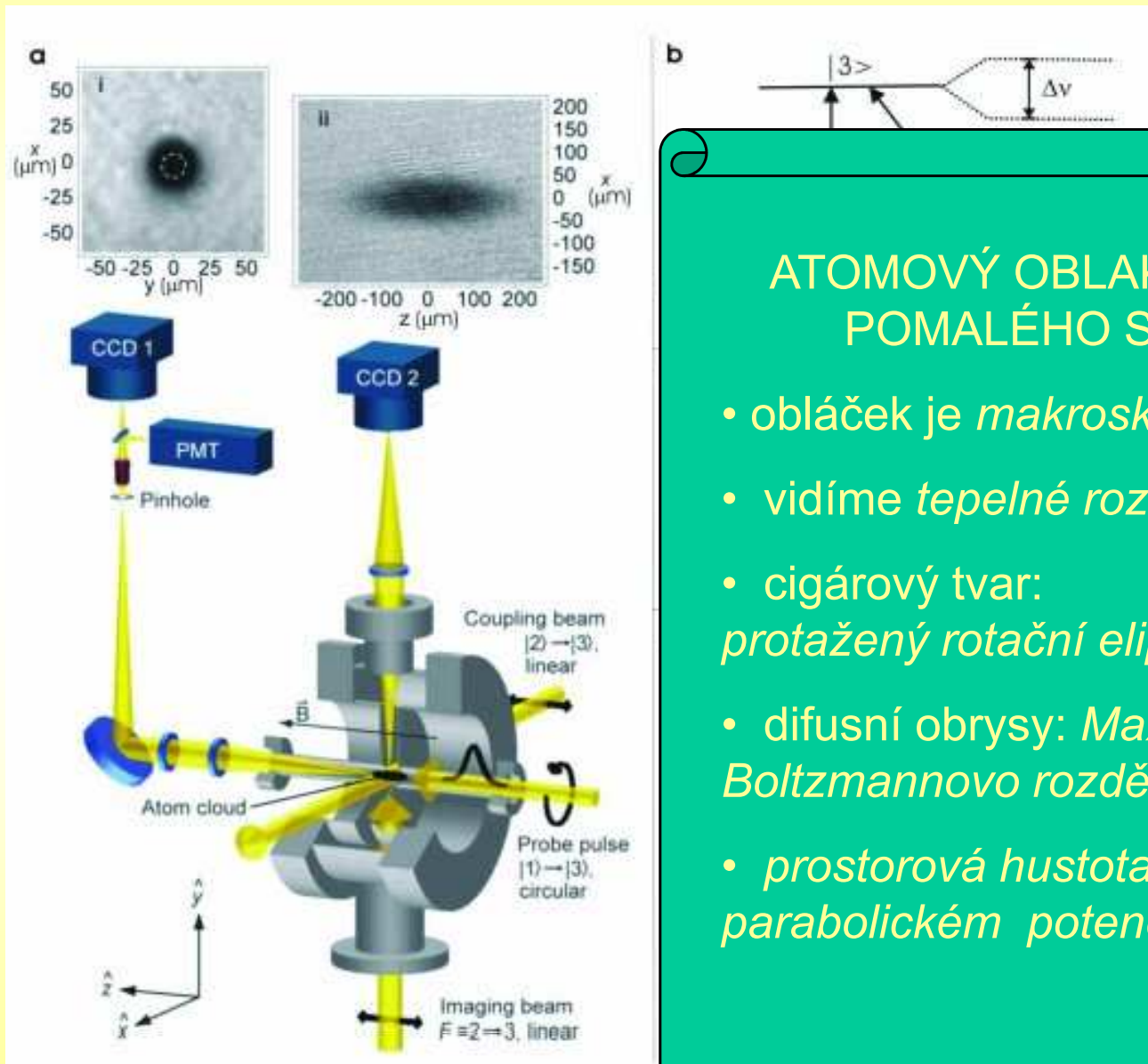
$$V(u) = \frac{1}{2} m\omega^2 u^2 = \frac{1}{2} \hbar\omega \left( \frac{u}{a_0} \right)^2$$



# K12: Pomalé světlo ve studených parách sodíku



## K12: Pomalé světlo ve studených parách sodíku



### ATOMOVÝ OBLAK -- NOSIČ POMALÉHO SVĚTLA

- oblaček je *makroskopický*
- vidíme *tepelné rozdělení*
- cigárový tvar: *protažený rotační elipsoid*
- difusní obrysy: *Maxwellovo–Boltzmannovo rozdělení*
- *prostorová hustota v parabolickém potenciálu*

## *Hustota částic v prostoru: I. Boltzmannova limita*

Aproximace skutečného rozdělení Boltzmannovou limitou  
(pro vysoké teploty, hodně částic)

$$\begin{aligned} f_B(\mathbf{r}, \mathbf{p}) &= e^{\beta(\mu - W - U(\mathbf{r}))} \\ n_{\text{THERM}}(\mathbf{r}) &= \int d^3 \mathbf{p} \cdot f_B(\mathbf{r}, \mathbf{p}) \\ &\propto e^{-\beta U(\mathbf{r})} \\ &= e^{-\frac{1}{2} \beta m (\omega_x^2 x^2 + \omega_y^2 y^2 + \omega_z^2 z^2)} \end{aligned}$$

## Hustota částic v prostoru: I. Boltzmannova limita

Aproximace skutečného rozdělení Boltzmannovou limitou  
(pro vysoké teploty, hodně částic)

$$\begin{aligned}f_B(\mathbf{r}, \mathbf{p}) &= e^{\beta(\mu - W - U(\mathbf{r}))} \\n_{\text{THERM}}(\mathbf{r}) &= \int d^3 \mathbf{p} \cdot f_B(\mathbf{r}, \mathbf{p}) \\&\propto e^{-\beta U(\mathbf{r})} \\&= e^{-\frac{1}{2} \beta m (\omega_x^2 x^2 + \omega_y^2 y^2 + \omega_z^2 z^2)}\end{aligned}$$

Vzpomínka na Perrina a  
barometrickou formuli

## Hustota částic v prostoru: II. BE kondensát při $T = 0$

Částice kondensátu jsou všechny v základním stavu

$$\begin{aligned} n_{\text{BEC}}(\mathbf{r}) &= |\phi_{0x}(x)|^2 |\phi_{0y}(y)|^2 |\phi_{0z}(z)|^2 \frac{1}{e^{-\beta\mu} - 1} \\ &= \frac{1}{a_{0x} a_{0y} a_{0z} \pi^3} e^{-\frac{x^2}{a_{0x}^2} - \frac{y^2}{a_{0y}^2} - \frac{z^2}{a_{0z}^2}} \frac{1}{e^{-\beta\mu} - 1} \end{aligned}$$

## Hustota částic v prostoru: II. BE kondensát při $T = 0$

Částice kondensátu jsou všechny v základním stavu

$$n_{\text{BEC}}(\mathbf{r}) = |\phi_{0x}(x)|^2 |\phi_{0y}(y)|^2 |\phi_{0z}(z)|^2 \frac{1}{e^{-\beta\mu} - 1}$$
$$= \frac{1}{a_{0x} a_{0y} a_{0z} \pi^3} e^{-\frac{x^2}{a_{0x}^2} - \frac{y^2}{a_{0y}^2} - \frac{z^2}{a_{0z}^2}} \frac{1}{e^{-\beta\mu} - 1} \rightarrow N \text{ při } T \rightarrow 0$$

## Hustota částic v prostoru: III. srovnání obou limit

Aproximace skutečného rozdělení Boltzmannovou limitou  
(pro vysoké teploty, hodně částic)

$$\begin{aligned}f_B(\mathbf{r}, \mathbf{p}) &= e^{\beta(\mu - W - U(\mathbf{r}))} \\n_{\text{THERM}}(\mathbf{r}) &= \int d^3 \mathbf{p} \cdot f_B(\mathbf{r}, \mathbf{p}) \\&\propto e^{-\beta U(\mathbf{r})} \\&= e^{-\frac{1}{2}\beta m(\omega_x^2 x^2 + \omega_y^2 y^2 + \omega_z^2 z^2)}\end{aligned}$$

Částice kondensátu jsou všechny v základním stavu

$$\begin{aligned}n_{\text{BEC}}(\mathbf{r}) &= |\phi_{0x}(x)|^2 |\phi_{0y}(y)|^2 |\phi_{0z}(z)|^2 \frac{1}{e^{-\beta\mu} - 1} \\&= \frac{1}{a_{0x} a_{0y} a_{0z} \pi^3} e^{-\frac{x^2}{a_{0x}^2} - \frac{y^2}{a_{0y}^2} - \frac{z^2}{a_{0z}^2}} \frac{1}{e^{-\beta\mu} - 1}\end{aligned}$$

## BE kondensát při $T = 0$ a makroskopická vlnová funkce

Částice kondensátu jsou všechny v základním stavu

$$\begin{aligned}n_{\text{BEC}}(\mathbf{r}) &= N \cdot |\phi_{0x}(x)|^2 |\phi_{0y}(y)|^2 |\phi_{0z}(z)|^2 \\ &= \frac{N}{a_{0x} a_{0y} a_{0z} \pi^3} e^{-\frac{x^2}{a_{0x}^2} - \frac{y^2}{a_{0y}^2} - \frac{z^2}{a_{0z}^2}} \\ &= N \int d^3 \bar{\mathbf{r}} \varphi^*(\bar{\mathbf{r}}) \delta(\mathbf{r} - \bar{\mathbf{r}}) \varphi(\bar{\mathbf{r}}) \equiv \int d^3 \bar{\mathbf{r}} \Psi^*(\bar{\mathbf{r}}) \delta(\mathbf{r} - \bar{\mathbf{r}}) \Psi(\bar{\mathbf{r}})\end{aligned}$$

$$\Psi(\mathbf{r}) = \sqrt{N} \varphi(\mathbf{r}) e^{i\Phi} \equiv \sqrt{N} \sqrt{n(\mathbf{r})} e^{i\Phi}$$

Jediná vlnová funkce normovaná ne na 1, ale na  $N$ , popisuje chování kondensátu ... **extrémní koherence** ("zpívají unisono")

ALE → → →

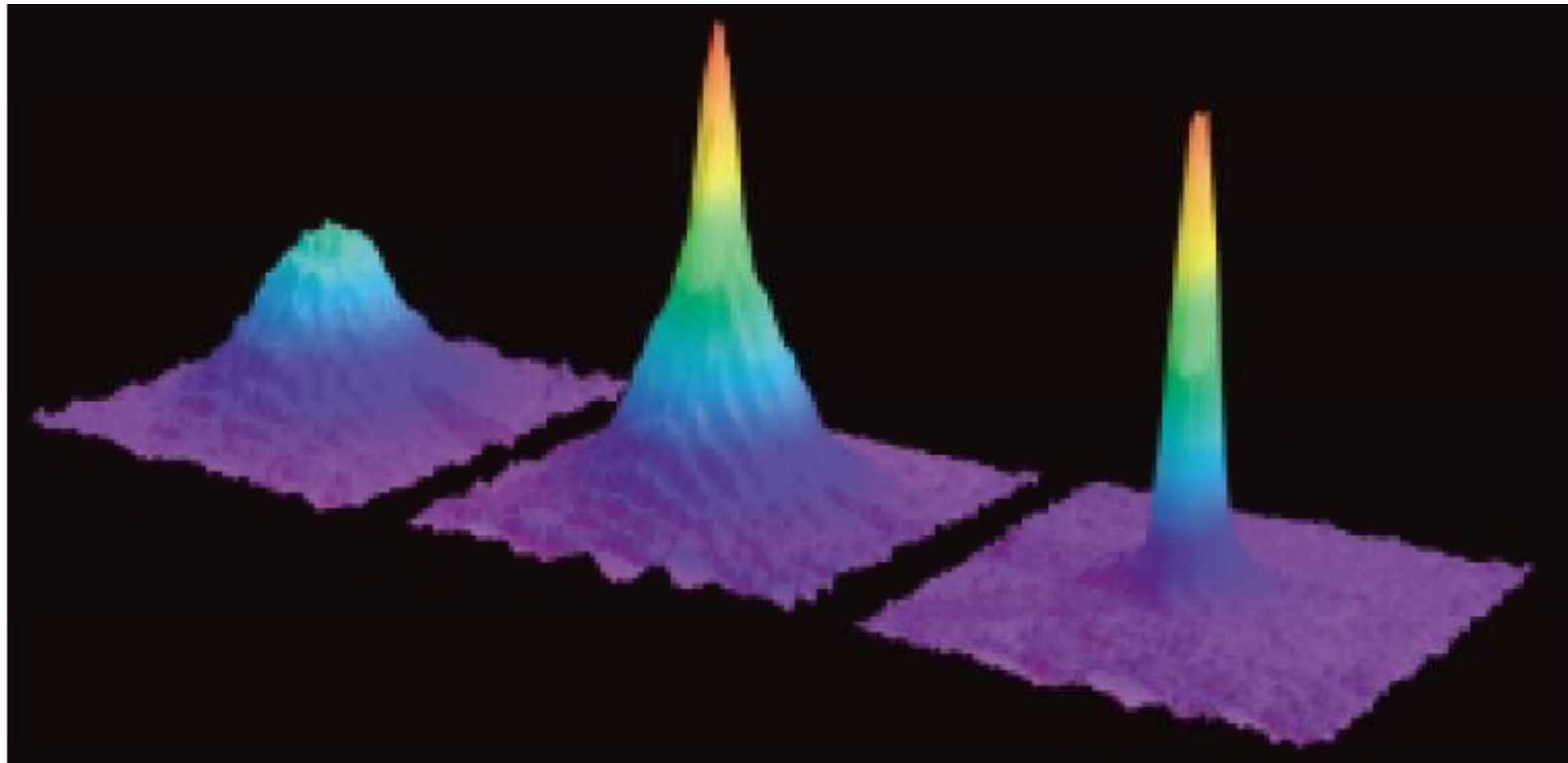


## F.Laloë: Do we really understand Quantum mechanics, Am.J.Phys.**69**, 655 (2001)

In passing, and as a side remark, it is amusing to notice that the recent observation of the phenomenon of Bose–Einstein condensation in dilute gases (Ref. 25) can be seen, in a sense, as a sort of realization of the initial hope of Schrödinger: This condensation provides a case where the many-particle matter wave does propagate in ordinary space. Before condensation takes place, we have the usual situation: The atoms belong to a degenerate quantum gas, which has to be described by wave functions defined in a huge configuration space. But, when they are completely condensed, they are restricted to a much simpler many-particle state that can be described by the same wave function, exactly as a single particle. In other words, the matter wave becomes similar to a classical field with two components (the real part and the imaginary part of the wave function), resembling an ordinary sound wave for instance. This illustrates why, somewhat paradoxically, the “exciting new states of matter” provided by Bose–Einstein condensates are not an example of an extreme quantum situation; they are actually more classical than the gases from which they originate (in terms of quantum description, interparticle correlations, etc.). Conceptually, of course, this remains a very special case and does not solve the general problem associated with a naive view of the Schrödinger waves as real waves.

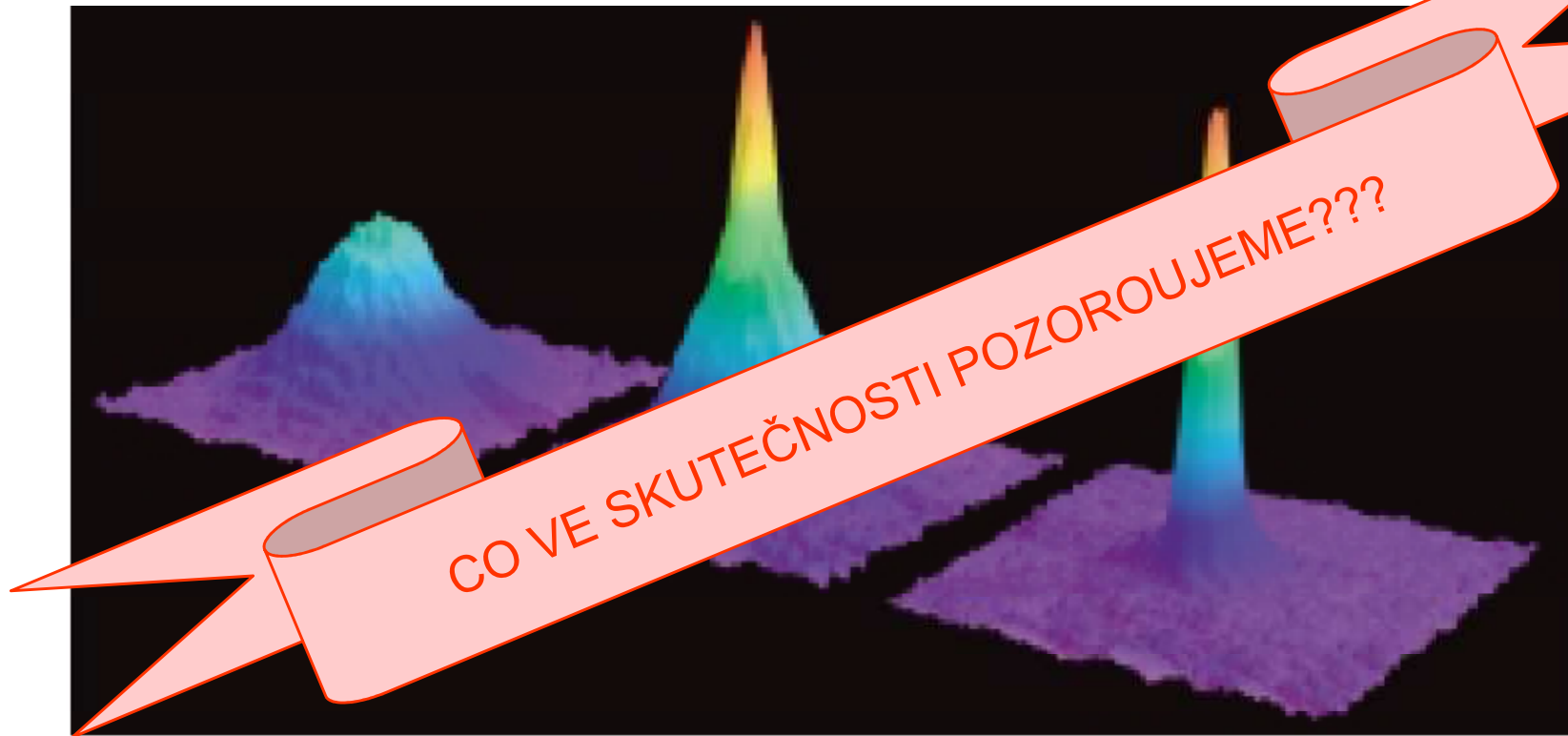
Studium BEC metodou TOF  
( time of flight -- doby letu)

## *BEC pozorovaná metodou TOF*



*Figure 7.* Observation of Bose-Einstein condensation by absorption imaging. Shown is absorption vs. two spatial dimensions. The Bose-Einstein condensate is characterized by its slow expansion observed after 6 ms time-of-flight. The left picture shows an expanding cloud cooled to just above the transition point; middle: just after the condensate appeared; right: after further evaporative cooling has left an almost pure condensate. The total number of atoms at the phase transition is about  $7 \times 10^5$ , the temperature at the transition point is  $2 \mu\text{K}$ .

## BEC pozorovaná metodou TOF



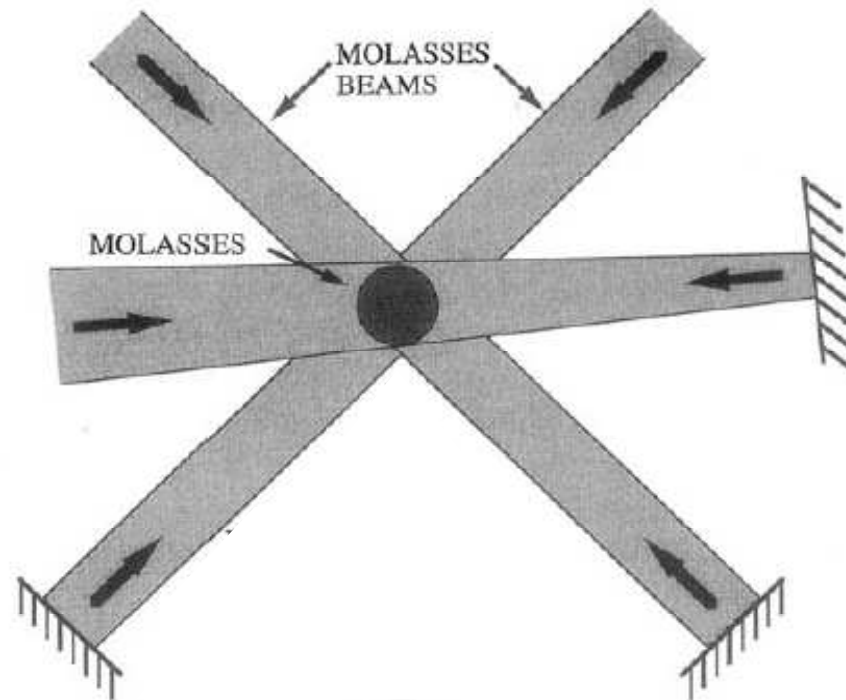
*Figure 7.* Observation of Bose-Einstein condensation by absorption imaging. Shown is absorption vs. two spatial dimensions. The Bose-Einstein condensate is characterized by its slow expansion observed after 6 ms time-of-flight. The left picture shows an expanding cloud cooled to just above the transition point; middle: just after the condensate appeared; right: after further evaporative cooling has left an almost pure condensate. The total number of atoms at the phase transition is about  $7 \times 10^5$ , the temperature at the transition point is  $2 \mu\text{K}$ .

## 3D laserové chlazení

20 000 fotonů je třeba  
k zastavení atomu z  
pokojové teploty

brzdná síla úměrná  
rychlosti, připomíná  
viskosní prostředí,  
"sirup"

Pro silné lasery  
záležitost milisekund



# TOF experiment

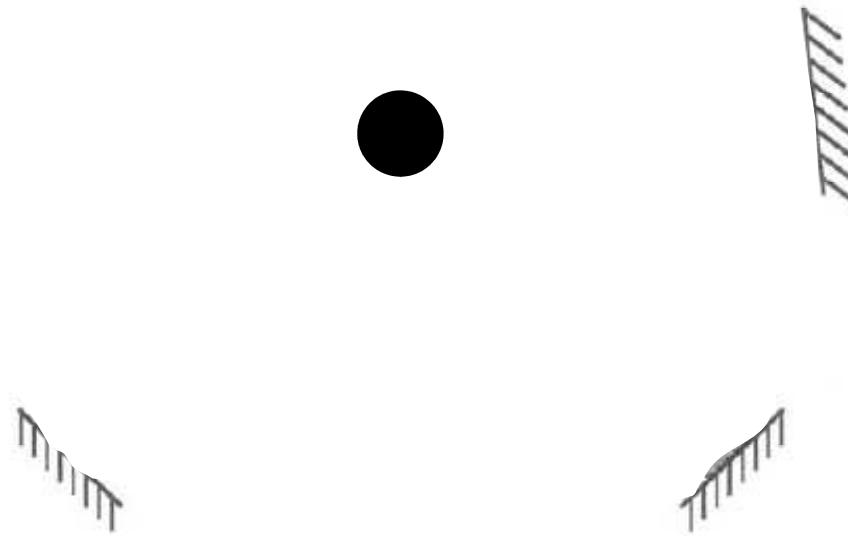
20 000 fotonů je třeba  
k zastavení atomu z  
pokojové teploty

brzdná síla úměrná  
rychlosti, připomíná  
viskosní prostředí,  
"sirup"

Pro silné lasery  
záležitost milisekund

měření tepelného  
rozdělení: vypneme  
lasery. Atomy klesají v  
tíhovém poli

Zároveň se rozletují  
balistickým způsobem



# TOF experiment

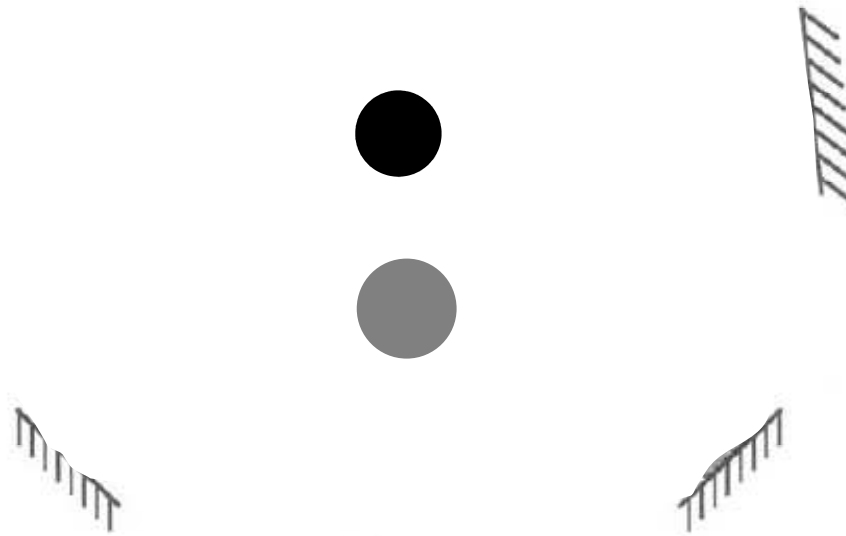
20 000 fotonů je třeba  
k zastavení atomu z  
pokojové teploty

brzdná síla úměrná  
rychlosti, připomíná  
viskosní prostředí,  
"sirup"

Pro silné lasery  
záležitost milisekund

měření tepelného  
rozdělení: vypneme  
lasery. Atomy klesají v  
tíhovém poli

Zároveň se rozletují  
balistickým způsobem



# TOF experiment

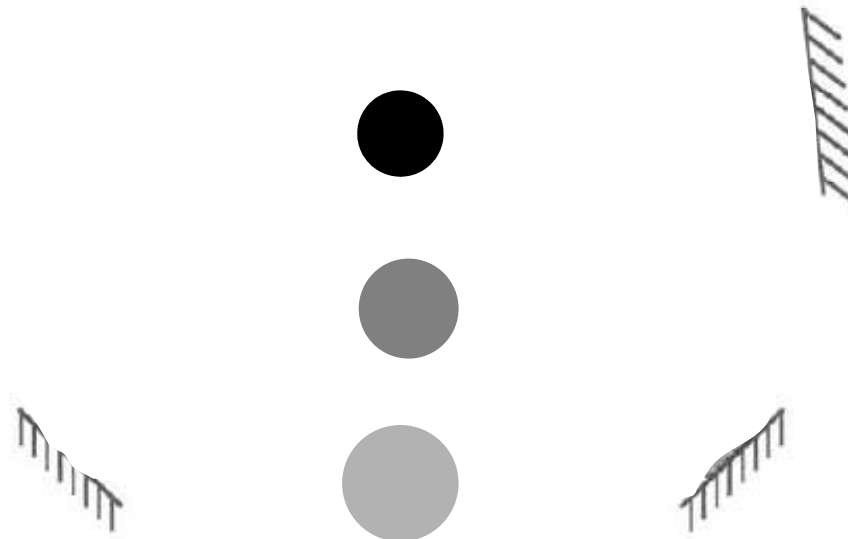
20 000 fotonů je třeba  
k zastavení atomu z  
pokojové teploty

brzdná síla úměrná  
rychlosti, připomíná  
viskosní prostředí,  
"sirup"

Pro silné lasery  
záležitost milisekund

měření tepelného  
rozdělení: vypneme  
lasery. Atomy klesají v  
tíhovém poli

Zároveň se rozletují  
balistickým způsobem





# měření distribuce

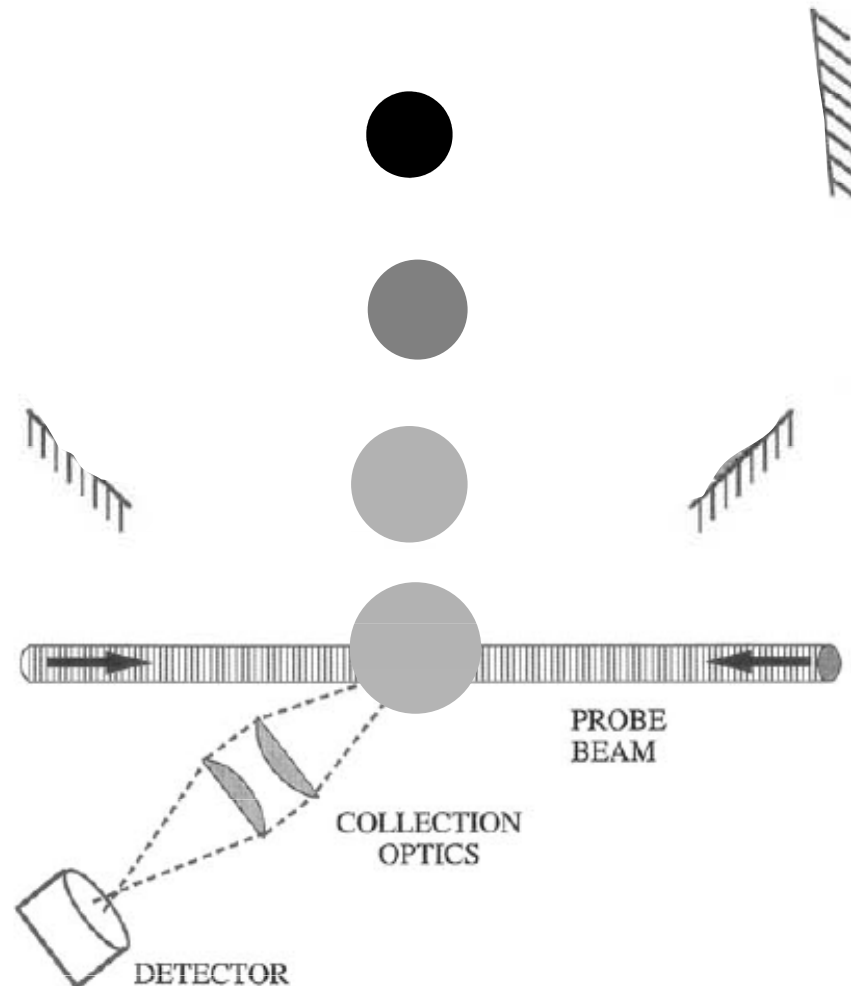
20 000 fotonů je třeba  
k zastavení atomu z  
pokojové teploty

brzdná síla úměrná  
rychlosti, připomíná  
viskosní prostředí,  
"sirup"

Pro silné lasery  
záležitost milisekund

měření tepelného  
rozdělení: vypneme  
lasery. Atomy klesají v  
tíhovém poli

Zároveň se rozletují  
balistickým způsobem



sondovací laserový  
svazek vyvolá  
fluorescenci atomů

z tvaru a velikosti  
obláčky je určeno  
rychlostní rozdělení

## Rozdělení rychlostí (hybností) v oblaku

Vysokoteplotní rozdělení aproximujeme klasickým rozdělením

Boltzmannovo rozdělení v poli pasti:

$$\begin{aligned}f_B(\mathbf{r}, \mathbf{p}) &= e^{\beta(\mu - W - U(\mathbf{r}))} \\f_{\text{THERM}}(\mathbf{p}) &= \int d^3 \mathbf{r} \cdot f_B(\mathbf{r}, \mathbf{p}) \\&\propto e^{-\beta W} \\&= e^{-\frac{1}{2}\beta m^{-1}(p_x^2 + p_y^2 + p_z^2)}\end{aligned}$$

## Rozdělení rychlostí (hybností) v oblaku

Vysokoteplotní rozdělení aproximujeme klasickým rozdělením

Boltzmannovo rozdělení v poli pasti:

$$\begin{aligned}f_B(\mathbf{r}, \mathbf{p}) &= e^{\beta(\mu - W - U(\mathbf{r}))} \\f_{\text{THERM}}(\mathbf{p}) &= \int d^3 \mathbf{r} \cdot f_B(\mathbf{r}, \mathbf{p}) \\&\propto e^{-\beta W} \\&= e^{-\frac{1}{2}\beta m^{-1}(p_x^2 + p_y^2 + p_z^2)}\end{aligned}$$

Vlnová funkce kondensátu v impulsové reprezentaci – také "Gaussovka"

$$\begin{aligned}f_{\text{BEC}}(\mathbf{p}) &= \left| \check{\phi}_{0x}(p_x) \right|^2 \left| \check{\phi}_{0y}(p_y) \right|^2 \left| \check{\phi}_{0z}(p_z) \right|^2 \frac{1}{e^{-\beta\mu} - 1} \\&\propto e^{-\frac{p_x^2}{b_{0x}^2} - \frac{p_y^2}{b_{0y}^2} - \frac{p_z^2}{b_{0z}^2}} \frac{1}{e^{-\beta\mu} - 1}, \quad \boxed{b_{0w} = \frac{\hbar}{a_{0w}}}\end{aligned}$$

## Rozdělení rychlostí (hybností) v oblaku

Vysokoteplotní rozdělení aproximujeme klasickým rozdělením

Boltzmannovo rozdělení v poli pasti:

$$f_B(\mathbf{r}, \mathbf{p}) = e^{\beta(\mu - W - U(\mathbf{r}))}$$

$$f_{\text{THERM}}(\mathbf{p}) = \int d^3 \mathbf{r} \cdot f_B(\mathbf{r}, \mathbf{p})$$

$$\propto e^{-\beta W}$$

$$= e^{-\frac{1}{2}\beta m^{-1}(p_x^2 + p_y^2 + p_z^2)}$$

isotropní

Vlnová funkce kondensátu v impulsové representaci – také "Gaussovka"

$$f_{\text{BEC}}(\mathbf{p}) = \left| \check{\phi}_{0x}(p_x) \right|^2 \left| \check{\phi}_{0y}(p_y) \right|^2 \left| \check{\phi}_{0z}(p_z) \right|^2 \frac{1}{e^{-\beta\mu} - 1}$$

anisotropní

$$\propto e^{-\frac{p_x^2}{b_{0x}^2} - \frac{p_y^2}{b_{0y}^2} - \frac{p_z^2}{b_{0z}^2}} \frac{1}{e^{-\beta\mu} - 1},$$

$$b_{0w} = \frac{\hbar}{a_{0w}}$$

# Rozdělení rychlostí (hybností) v oblaku

Vysokoteplotní rozdělení aproximujeme klasickým rozdělením

Boltzmannovo rozdělení v poli pasti:

$$f_B(\mathbf{r}, \mathbf{p}) = e^{\beta(\mu - W - U(\mathbf{r}))}$$

$$f_{\text{THERM}}(\mathbf{p}) = \int d^3 \mathbf{r} \cdot f_B(\mathbf{r}, \mathbf{p})$$

$$\propto e^{-\beta W}$$

$$= e^{-\frac{1}{2} \beta m^{-1} (p_x^2 + p_y^2 + p_z^2)}$$

isotropní

Dvojí přímo měřitelné charakteristické délky

$$b_0 = (b_{0x} b_{0y} b_{0z})^{\frac{1}{3}} = \frac{\hbar}{a_0},$$

$$B_T = 1 / \sqrt{\beta m}$$

$$= b_0 \sqrt{k_B T / \hbar \tilde{\omega}} \square b_0$$

Vlnová funkce kondensátu v impulsové reprezentaci – také "Gaussovka"

$$f_{\text{BEC}}(\mathbf{p}) = |\check{\phi}_{0x}(p_x)|^2 |\check{\phi}_{0y}(p_y)|^2 |\check{\phi}_{0z}(p_z)|^2 \frac{1}{e^{-\beta\mu} - 1}$$

anisotropní

$$\propto e^{-\frac{p_x^2}{b_{0x}^2} - \frac{p_y^2}{b_{0y}^2} - \frac{p_z^2}{b_{0z}^2}} \frac{1}{e^{-\beta\mu} - 1},$$

$$b_{0w} = \frac{\hbar}{a_{0w}}$$

# Rozdělení rychlostí (hybností) v oblaku

Vysokoteplotní rozdělení aproximujeme klasickým rozdělením

Boltzmannovo rozdělení v poli pasti:

$$f_B(\mathbf{r}, \mathbf{p}) = e^{\beta(\mu - W - U(\mathbf{r}))}$$

$$f_{\text{THERM}}(\mathbf{p}) = \int d^3 \mathbf{r} \cdot f_B(\mathbf{r}, \mathbf{p})$$

$$\propto e^{-\beta W}$$

$$= e^{-\frac{1}{2} \beta m^{-1} (p_x^2 + p_y^2 + p_z^2)}$$

isotropní

Dvojí přímo měřitelné charakteristické délky

$$b_0 = (b_{0x} b_{0y} b_{0z})^{\frac{1}{3}} = \frac{\hbar}{a_0},$$

$$B_T = 1 / \sqrt{\beta m}$$

$$= b_0 \sqrt{k_B T / \hbar \tilde{\omega}} \square b_0$$

Vlnová funkce kondensátu v impulsové reprezentaci – také "Gaussovka"

$$f_{\text{BEC}}(\mathbf{p}) = |\check{\phi}_{0x}(p_x)|^2 |\check{\phi}_{0y}(p_y)|^2 |\check{\phi}_{0z}(p_z)|^2 \frac{1}{e^{-\beta\mu} - 1}$$

anisotropní

$$\propto e^{-\frac{p_x^2}{b_{0x}^2} - \frac{p_y^2}{b_{0y}^2} - \frac{p_z^2}{b_{0z}^2}} \frac{1}{e^{-\beta\mu} - 1},$$

$$b_{0w} = \frac{\hbar}{a_{0w}}$$

# BEC pozorovaná v rozdělení rychlostí metodou TOF

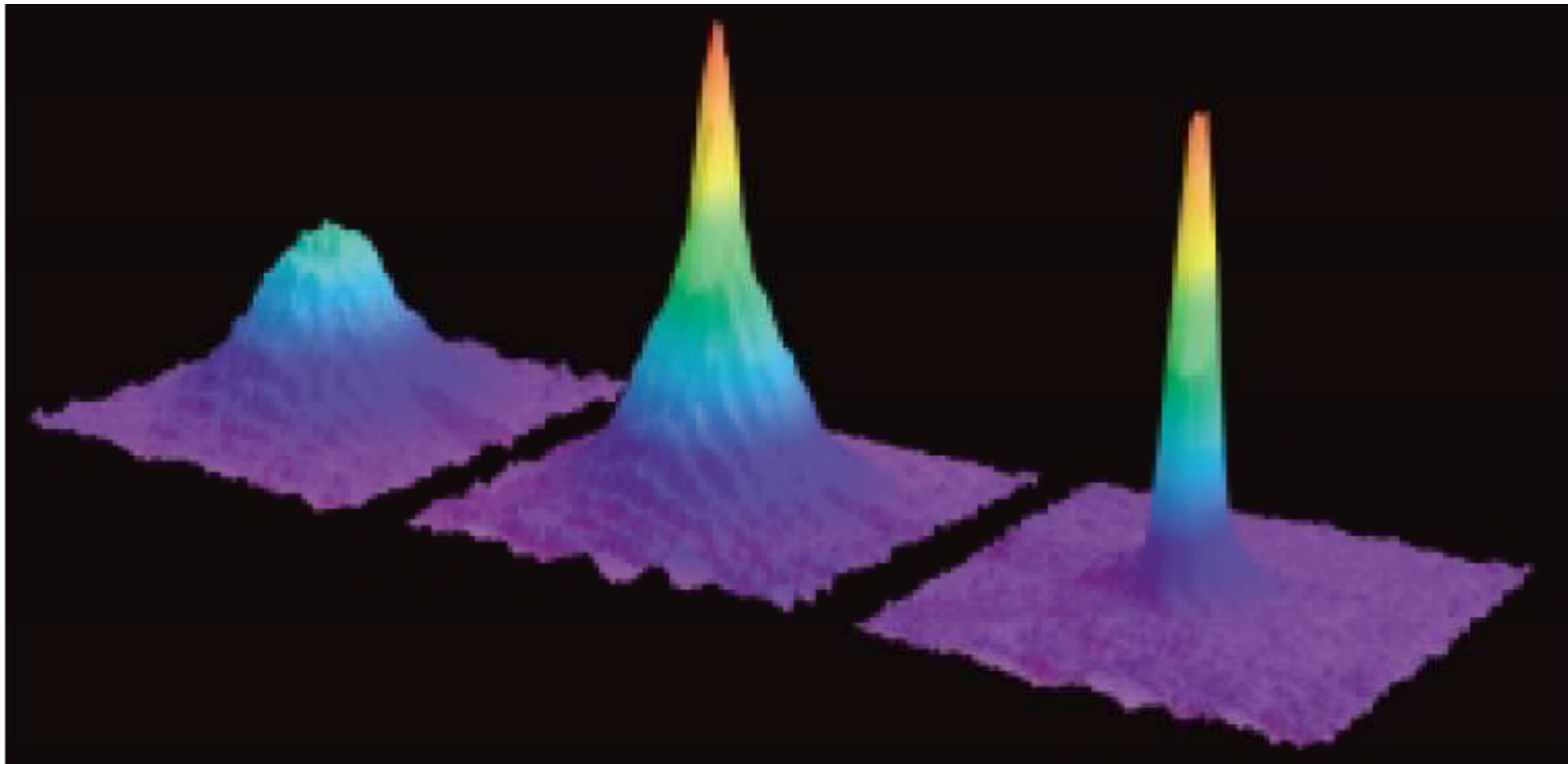


Figure 7. Comparison of the BEC vs. two species observed above the evaporative transition

## Kvalitativní vlastnosti:

- ♠ Gaussovy profily
- ♠ široké vs. úzké
- ♠ isotropní vs. anisotropní

by absorption imaging. Shown is absorption image of the condensate is characterized by its slow expansion. The left image shows an expanding cloud cooled to just above the transition point where the condensate appeared; right: after further expansion. The total number of atoms at the phase transition point is  $2 \mu\text{K}$ .

## Kvantitativní vyhodnocení: vliv atomových interakcí

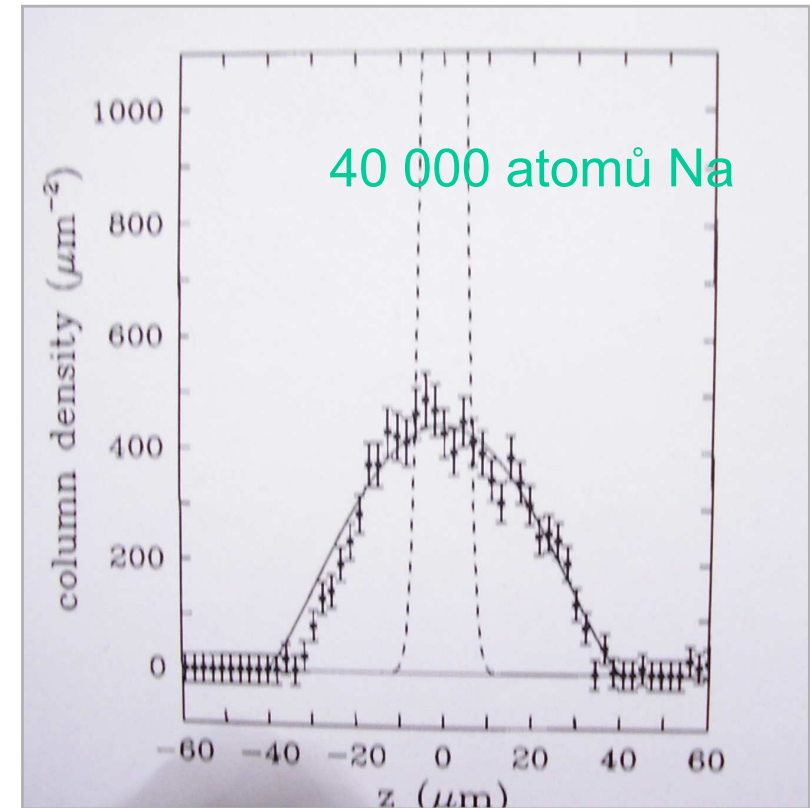
Oblak by se rozplýval jako kvantové klubko i bez meziatomových interakcí

Výsledek by pak odpovídal balistickému rozletování atomů jako klasických kuliček

Interakce jsou sice slabé, ale protože past drží atomy pohromadě, jejich účinek je značný,

jednak ještě za působení potenciálu pasti,

jednak v počátečních stadiích rozletu, kdy obláček je ještě hustý



### MAKROSKOPICKÁ VLNOVÁ FUNKCE KONDENSÁTU

bez interakcí by kondensát byl v základním stavu oscilátoru (čárkovaně - - - -)

Experiment ukazuje významné "nafouknutí" vnitřním tlakem; to je přesně reprodukováno řešením tzv. Gross-Pitajevského rovnice



## *Příklad výpočtu balistického rozletu*

Repulsivní interakce působí zpočátku silněji a atomy "předbíhají čas" proti čistě balistickému rozletu

Později je rozlet již zase lineární.

Výpočet byl ve shodě s experimentem pro vhodnou sílu interakce, která odpovídá nezávislým měřením atomových srážek.

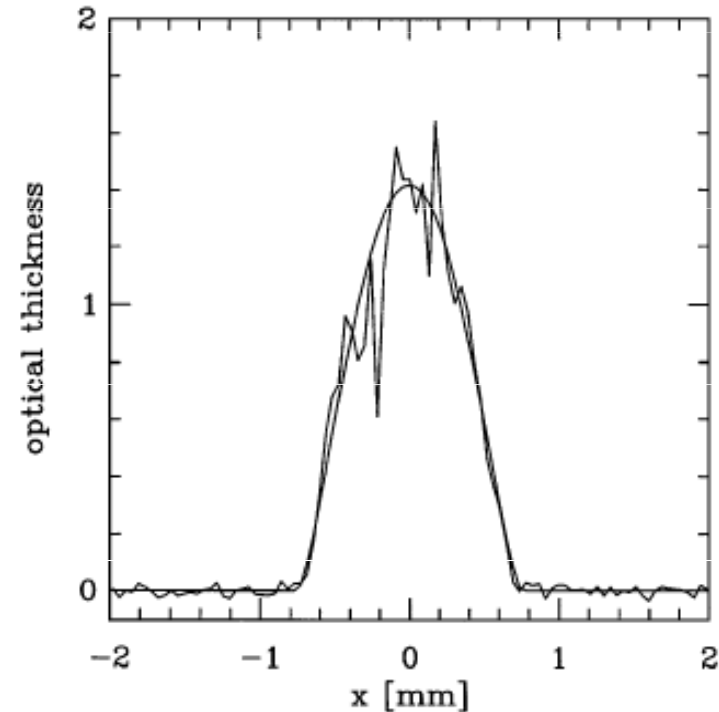
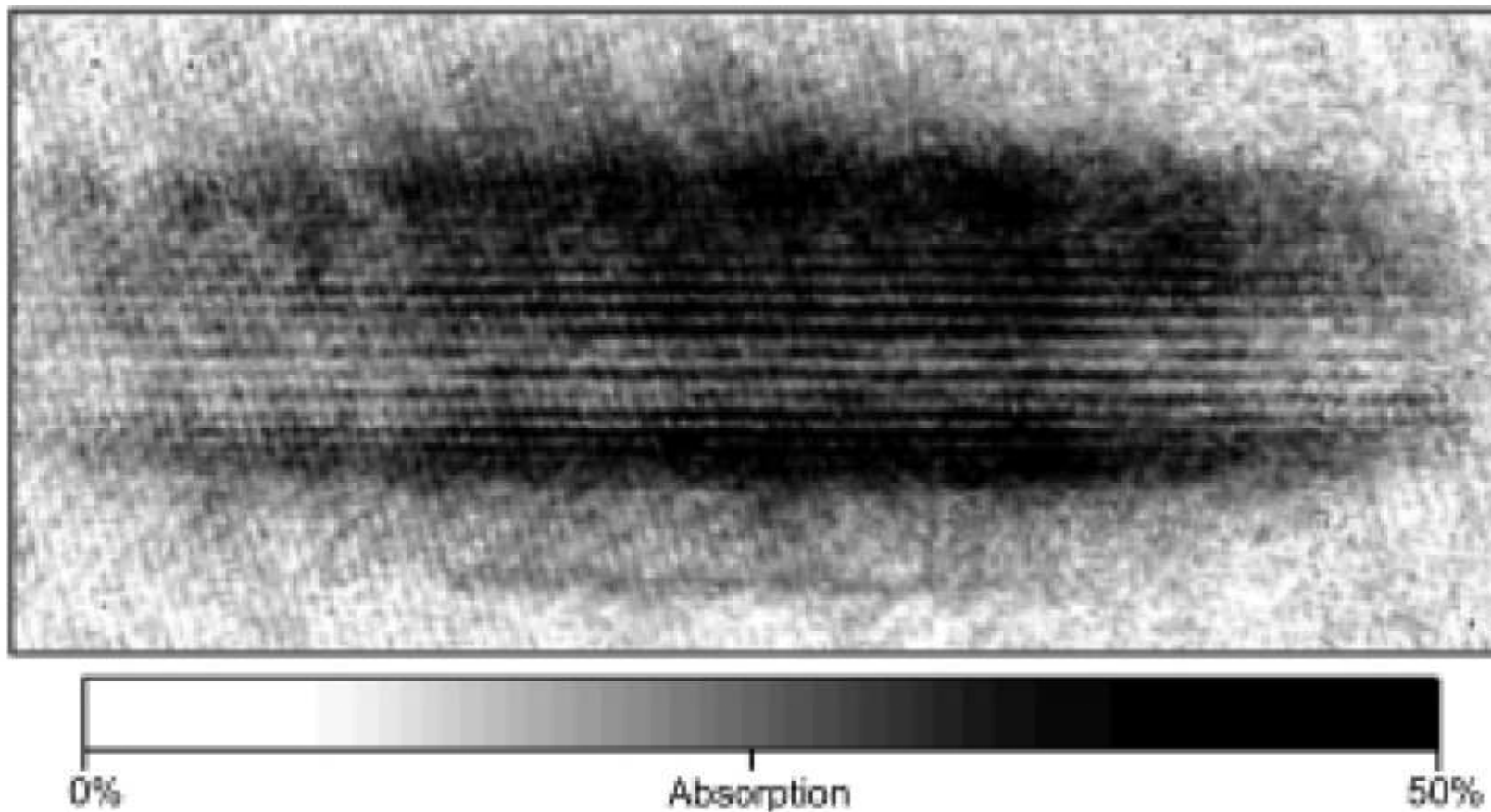


FIG. 1. Spatial density of an expanding condensate integrated along the  $y$  axis, cut along the  $x$  axis (that is, at  $z = 0$ ). Experimental data obtained at MIT (expansion time of 40 ms) and fit from theory.

Castin&Dum,  
PRL 77, 5315 (1996)

První přímý důkaz kvantové koherence  
atomárního BE kondensátu

## *Interference atomů*



Dva koherentní kondensáty se pronikají a interferují.  
Vertikální vzdálenost proužků je  $15\ \mu\text{m}$   
Vodorovný rozměr obláčku  $1,5\text{mm}$

# *Bose-Einsteinova kondensace atomů v pastech*

Atomy sodíku vytvářejí makroskopickou vlnovou funkci

Experimentální důkaz:

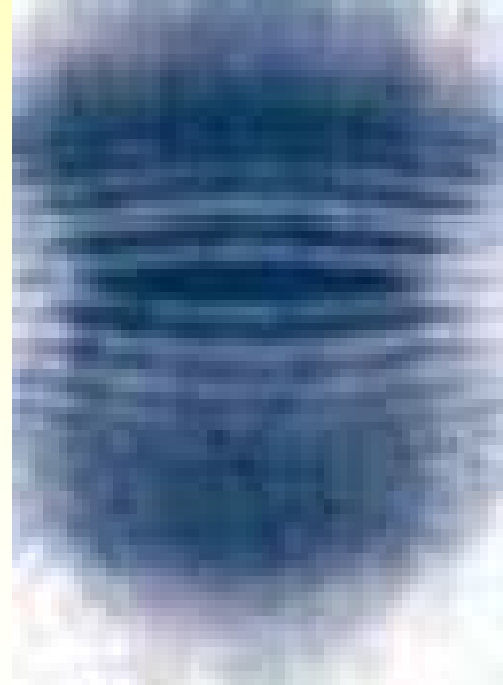
Dvě části obláčku rozdělené a opět se prolínající spolu interferují.

Vlnová délka v řádu desetin milimetru

*experiment ve skupině Ketterle a spol.*



vlny na vodě



# *Bose-Einsteinova kondensace atomů v pastech*

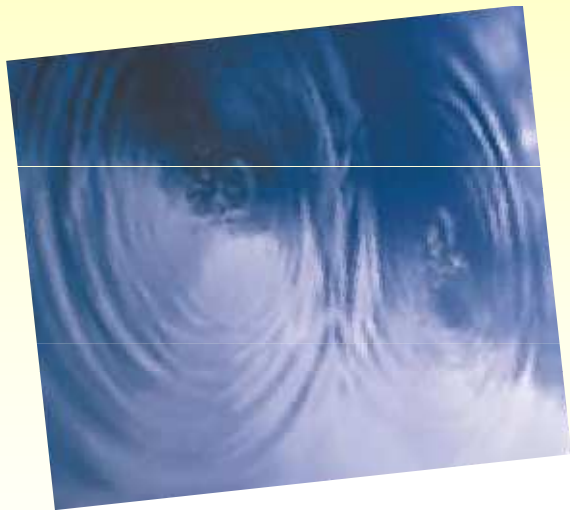
Atomy sodíku vytvářejí makroskopickou vlnovou funkci

Experimentální důkaz:

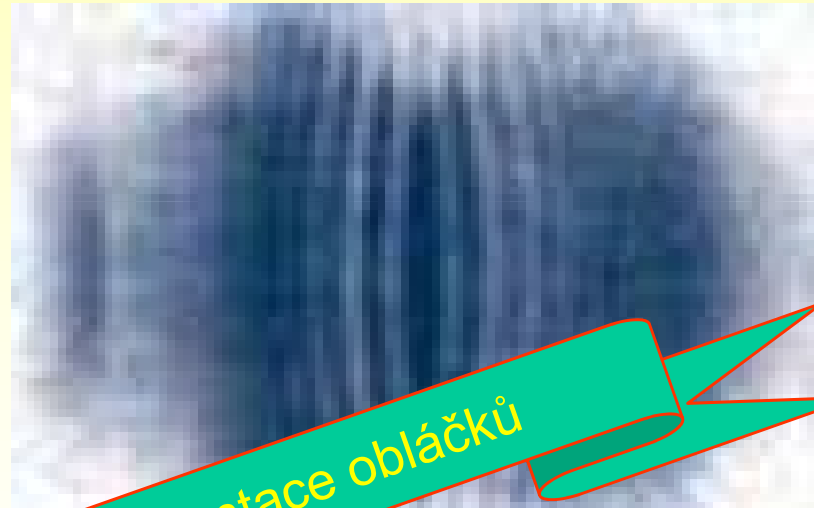
Dvě části obláčku rozdělené a opět se prolínající spolu interferují.

Vlnová délka v řádu desetin milimetru

*experiment ve skupině Ketterle a spol.*



vlny na vodě



skutečná orientace obláčku

# *Bose-Einsteinova kondensace atomů v pastech*

Atomy sodíku vytvářejí makroskopickou vlnovou funkci

Experimentální důkaz:

Dvě části obláčku rozdělené a opět se prolínající spolu interferují.

Vlnová délka v řádu desetin milimetru

*experiment ve skupině Ketterle a spol.*



# *Bose-Einsteinova kondensace atomů v pastech*

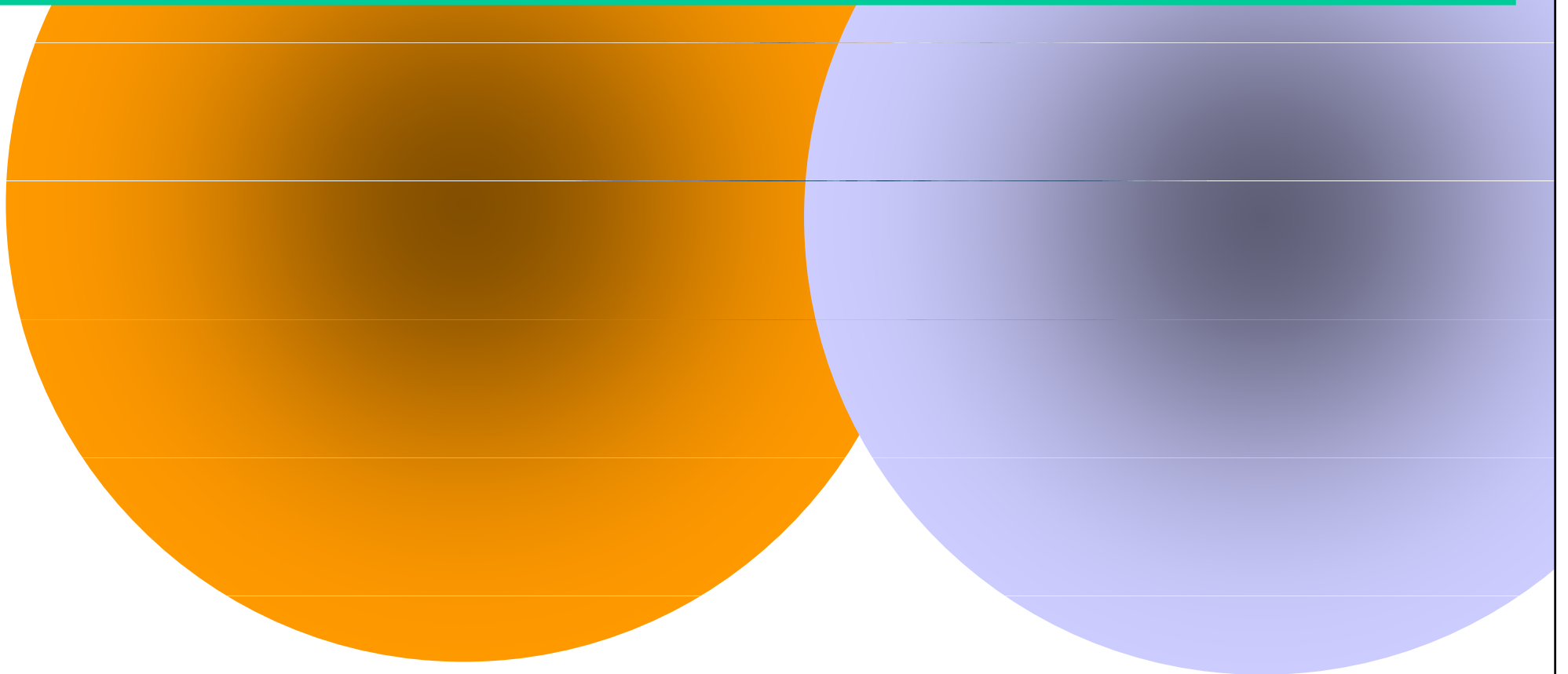
Atomy sodíku vytvářejí makroskopickou vlnovou funkci

Experimentální důkaz:

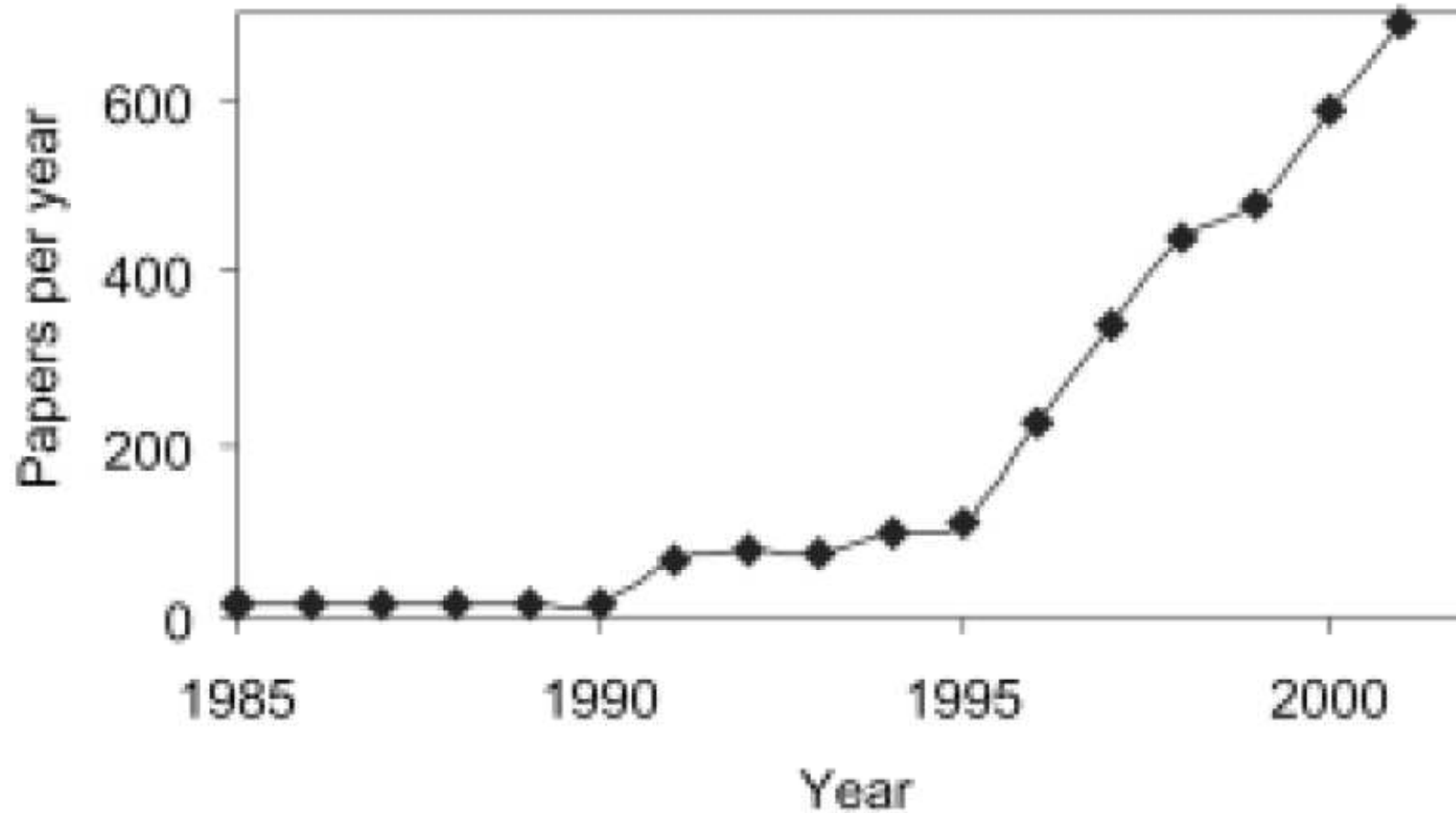
Dvě části obláčku rozdělené a opět se prolínající spolu interferují.

Vlnová délka v řádu desetin milimetru

*experiment ve skupině Ketterle a spol.*



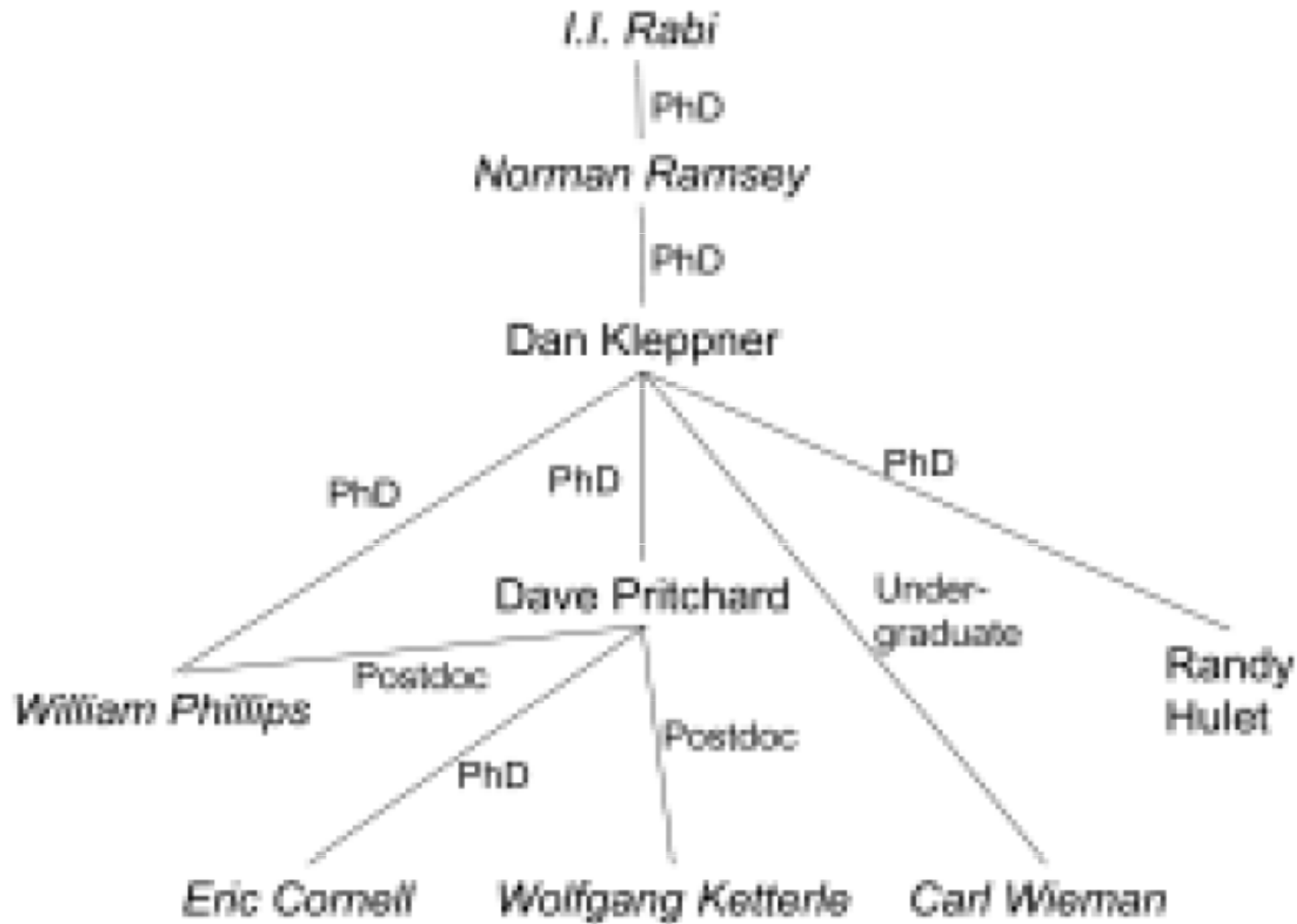
## *Boom BEC, teď ještě mnohem živější*



*Figure 1.* Annual number of published papers, which have the words “Bose” and “Einstein” in their title, abstracts or keywords. The data were obtained by searching the ISI (Institute for Scientific Information) database.



*Strom nobelistů (kursivou) v atomové fyzice*



*The end*